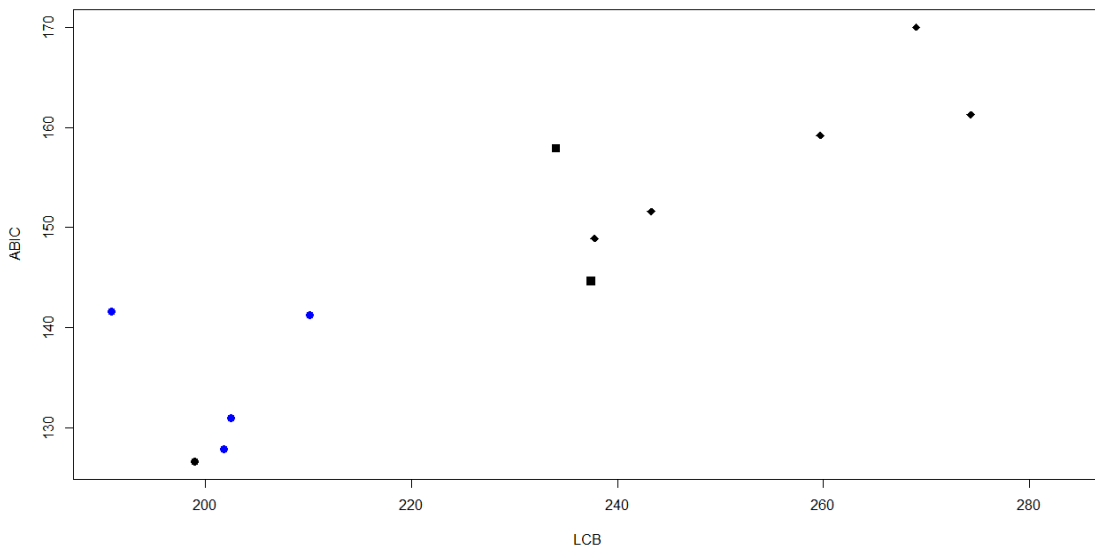
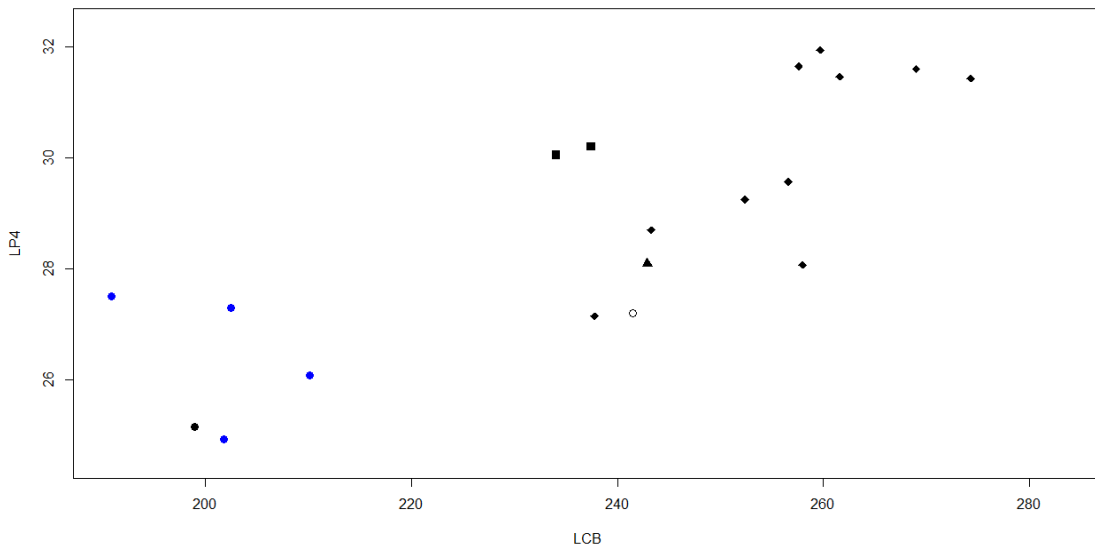
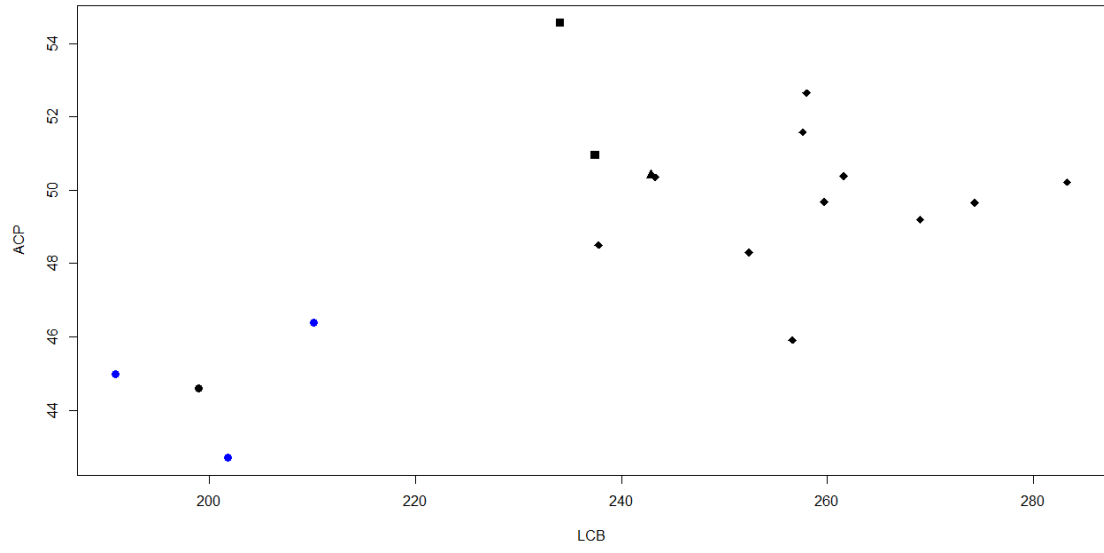
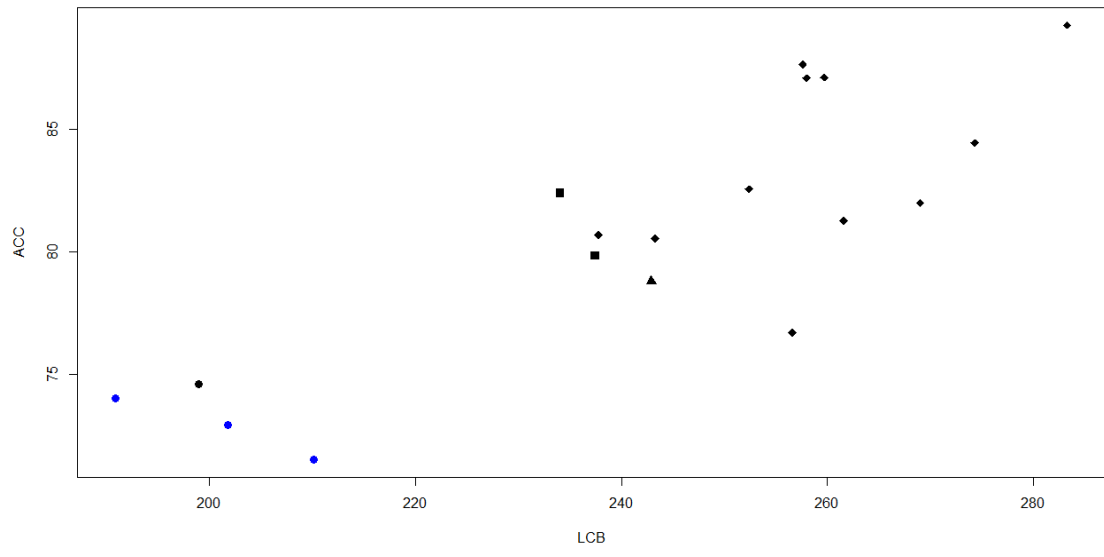


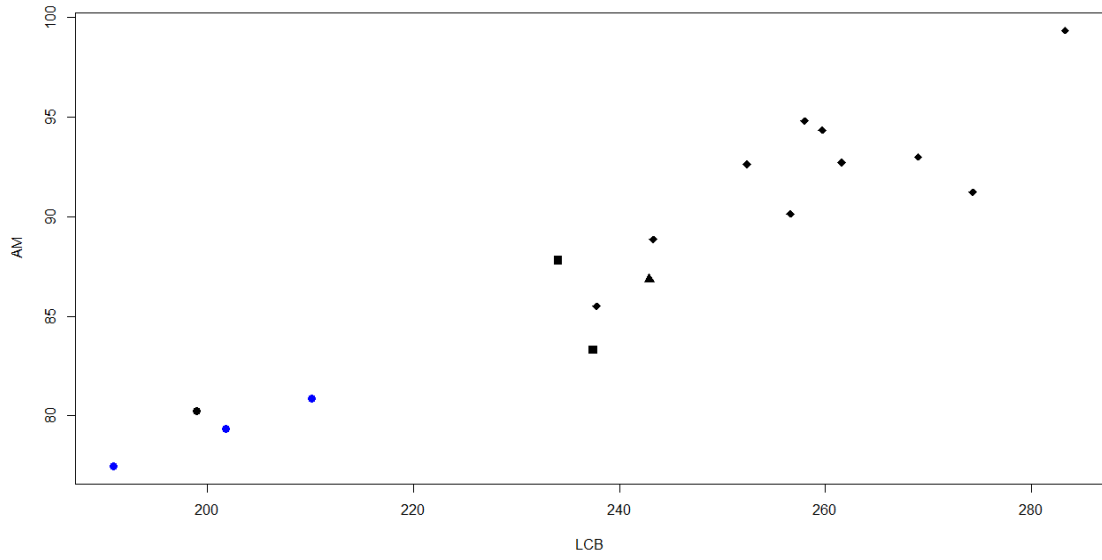
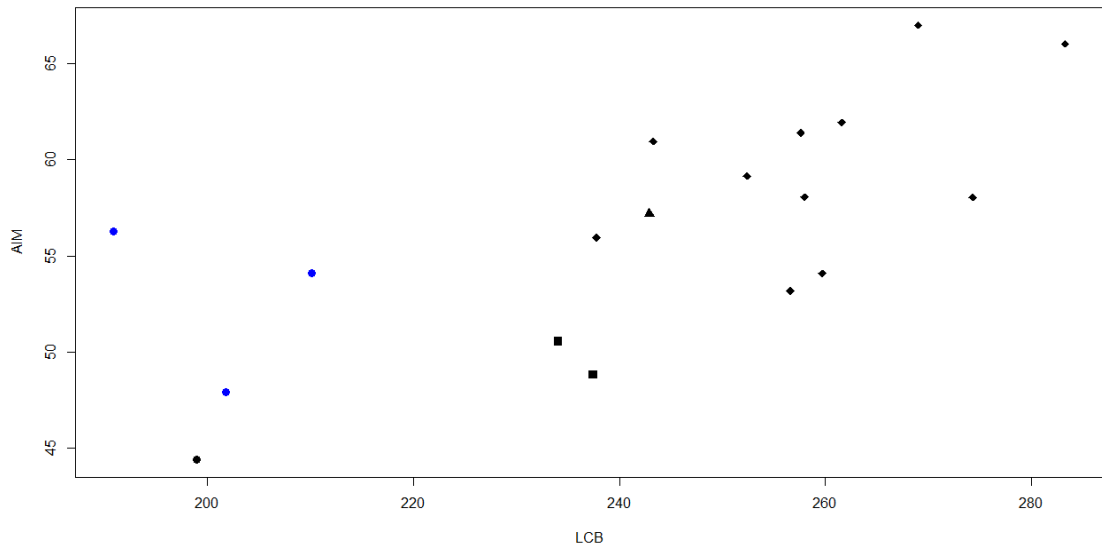
### **Información Suplementaria online 3**

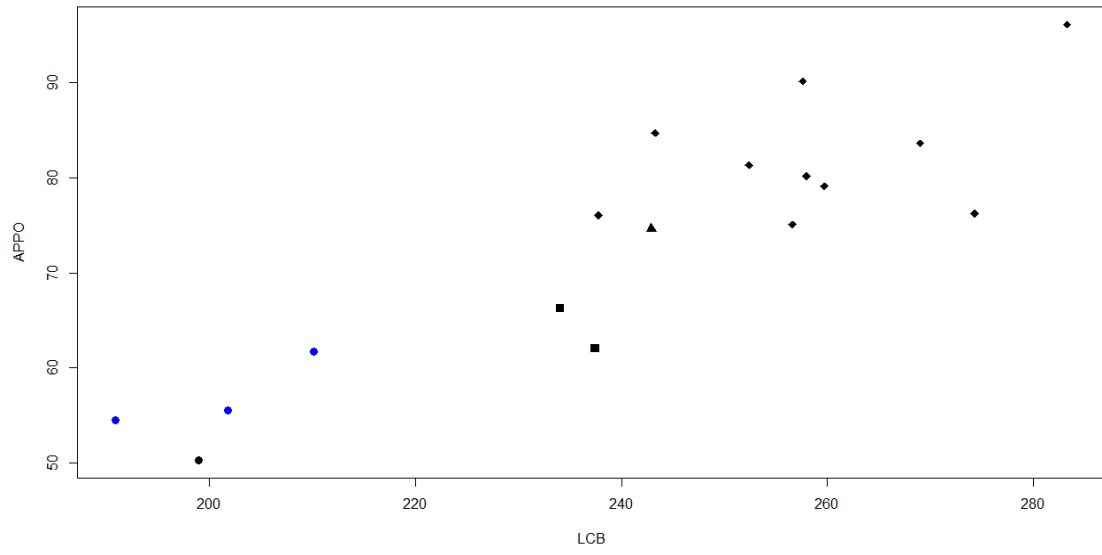
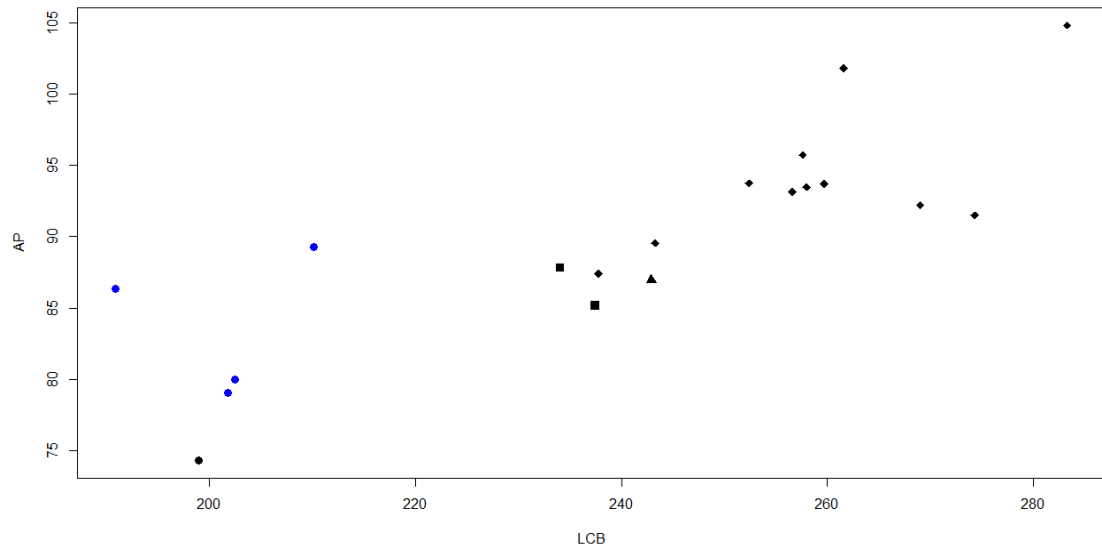
Prevosti, F. SISTEMÁTICA DE LOS GRANDES CÁNIDOS (MAMMALIA, CARNIVORA, CANIDAE) FÓSILES DE AMERICA DEL SUR. Publicación Electrónica de la Asociación Paleontológica Argentina

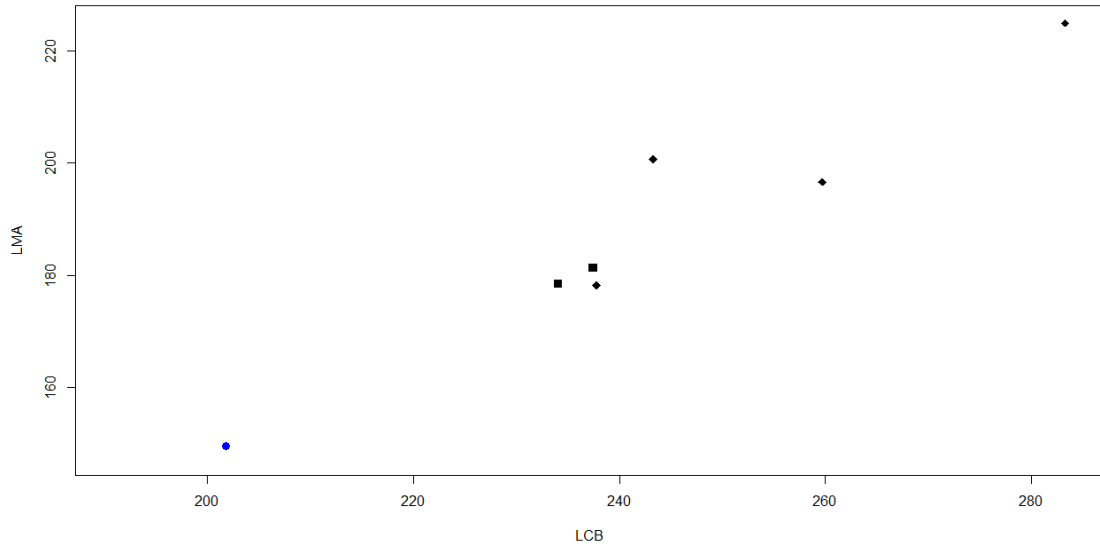
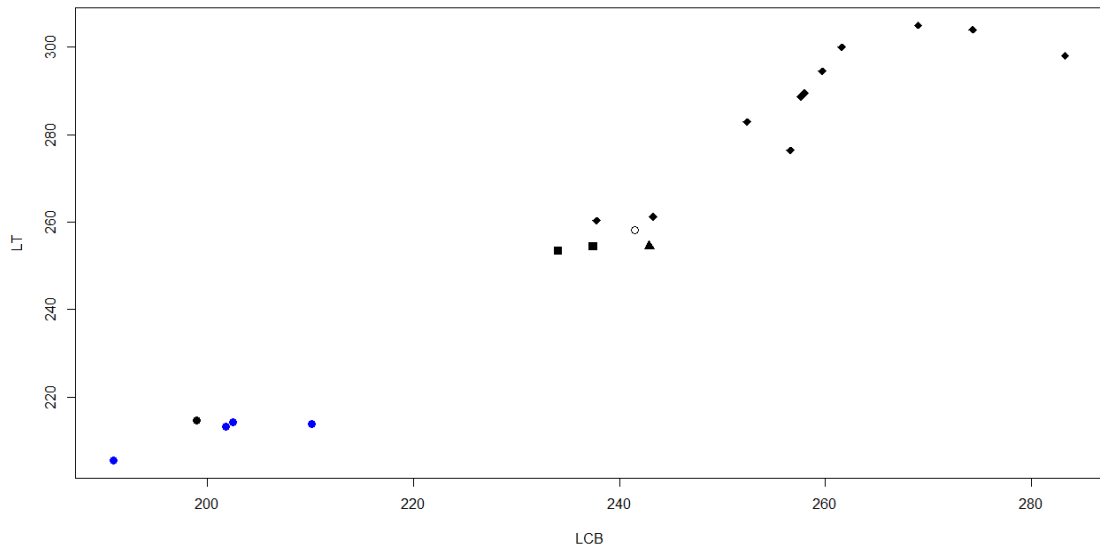
**Gráficos bivariados de medidas cráneo dentarias (mm).** Rombo negro, *Aenocyon dirus*; cuadrado negro, *T. platensis*; cuadrado blanco (vacío), “*Ca.*” *gezi*; círculo blanco (vacío), *P. tarijensis*, círculo negro, *P. scagliarum*; círculo azul, *P. troglodytes*; círculo rojo, *Protocyon*; triangulo invertido rojo, ORS20 266; triangulo invertido blanco (vacío), ORS16 1332 y ORS16 6353; cruz negra, *Ch. brachyurus*; rombo vacío con una cruz adentro, Caninae; asterisco negro, *Xenocyon texanus*; asterisco rojo, *Xenocyon lycaonoides*; equis negra, *Theriodictis? floridanus*.

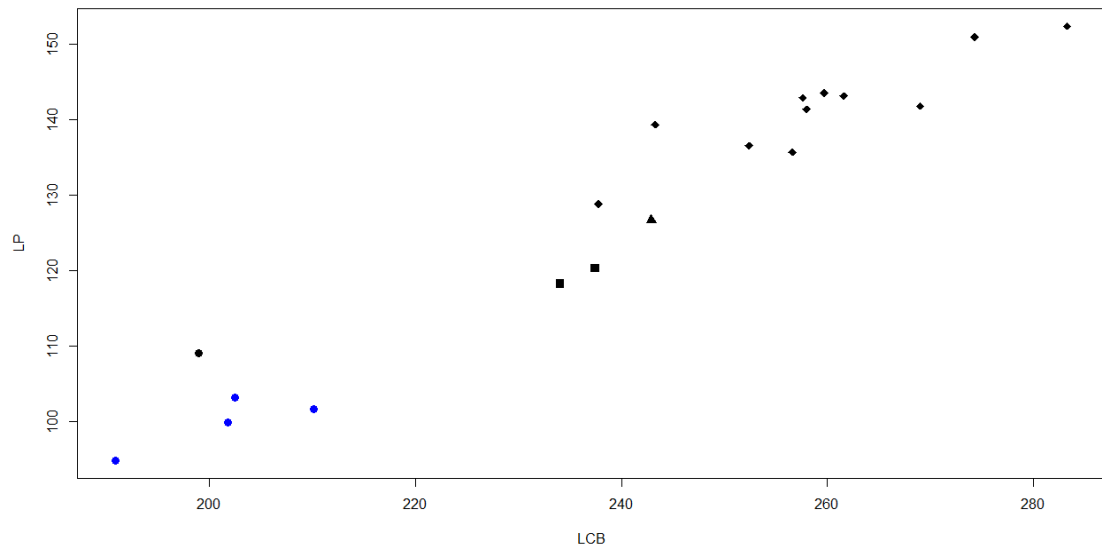
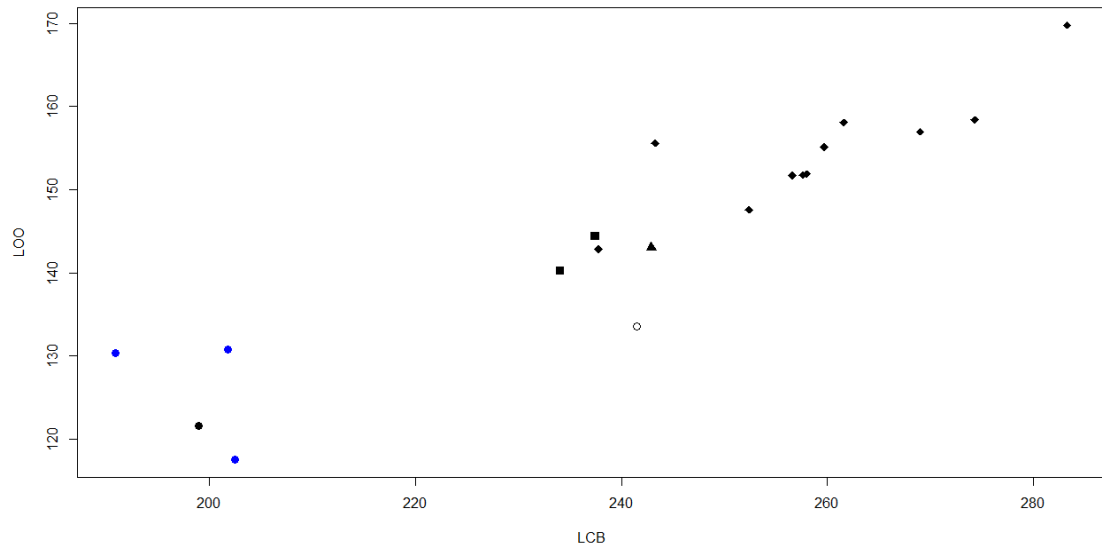


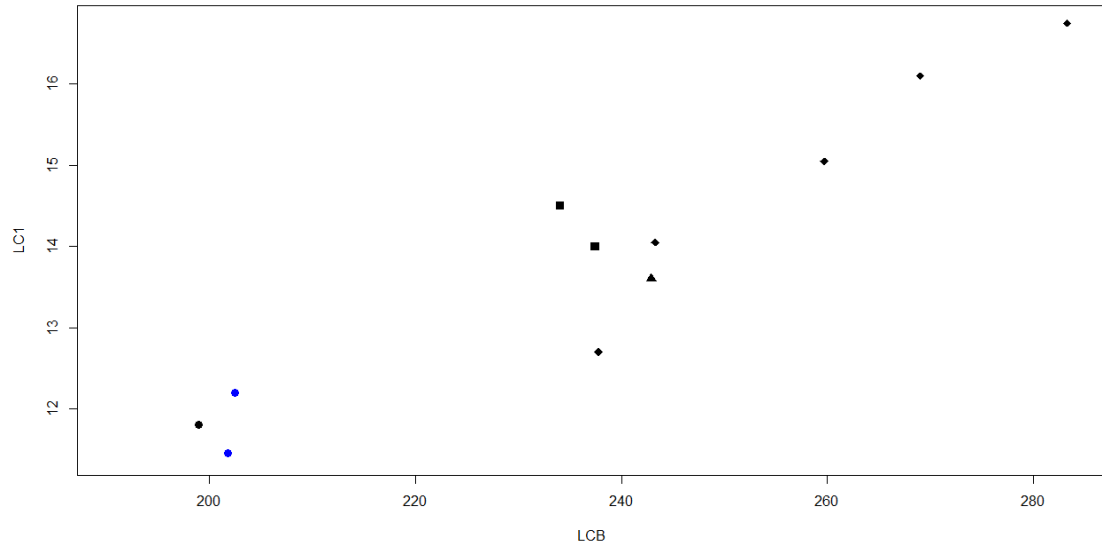
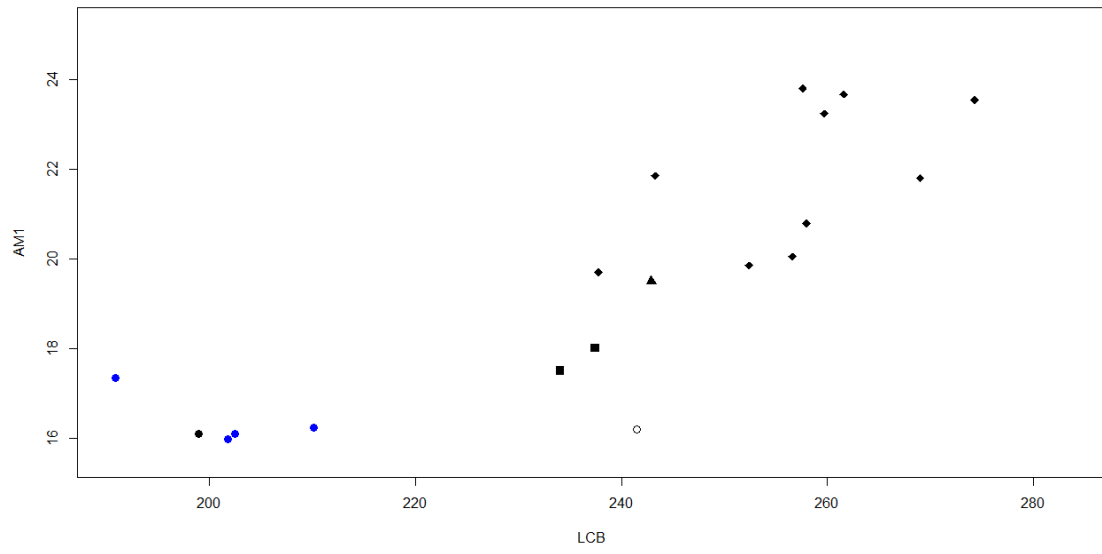


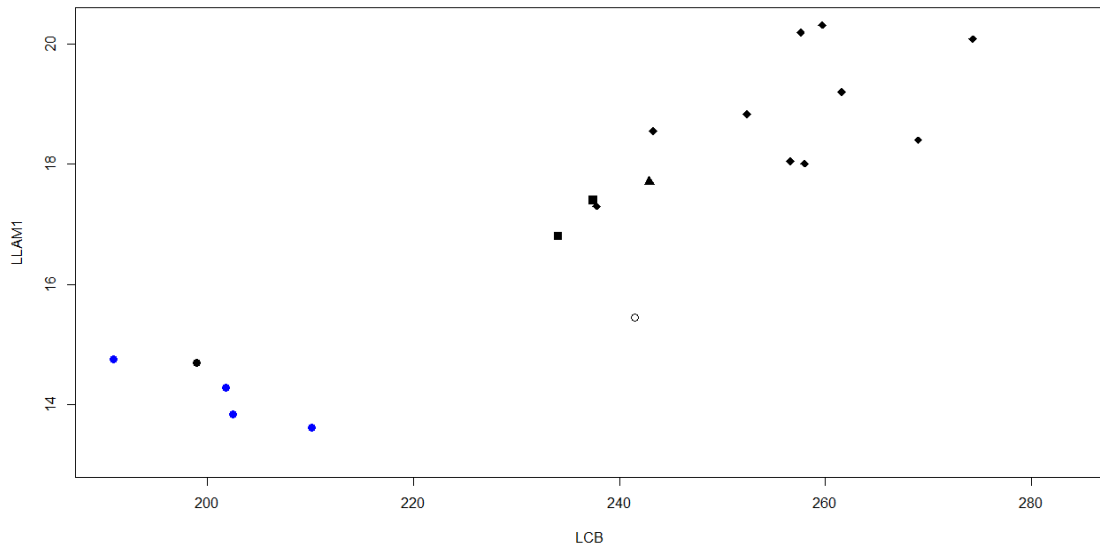


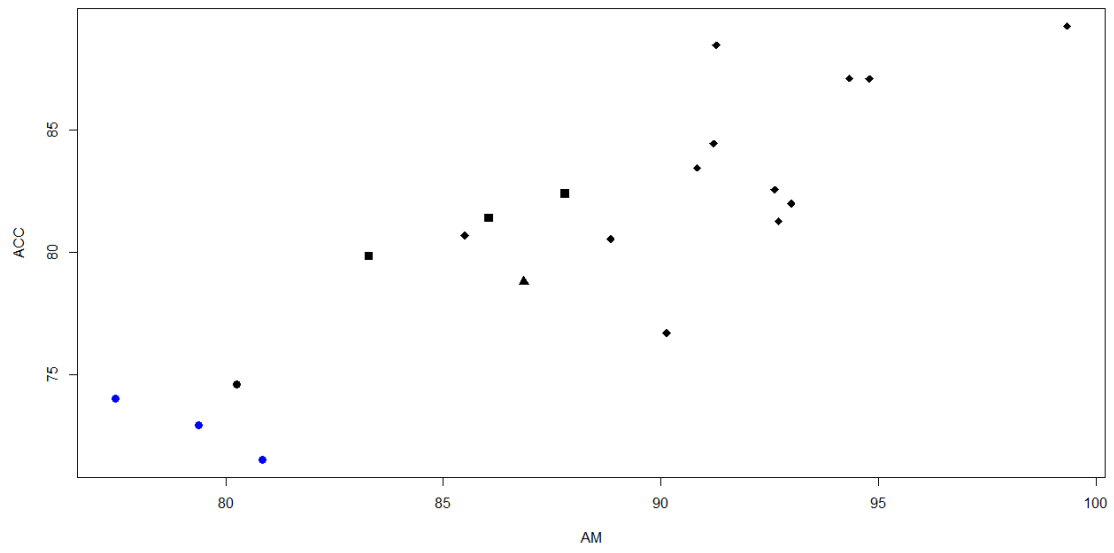
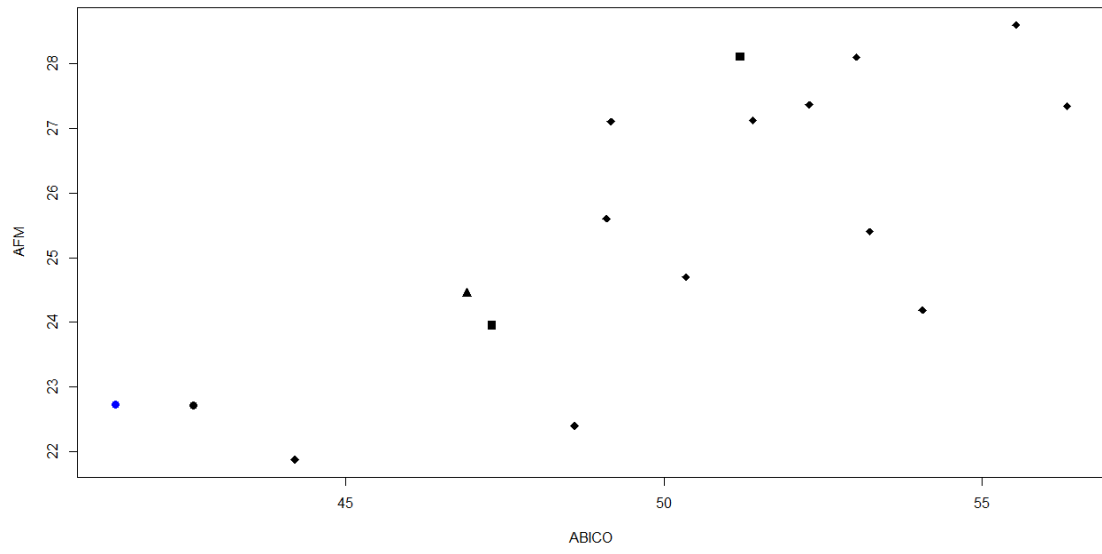


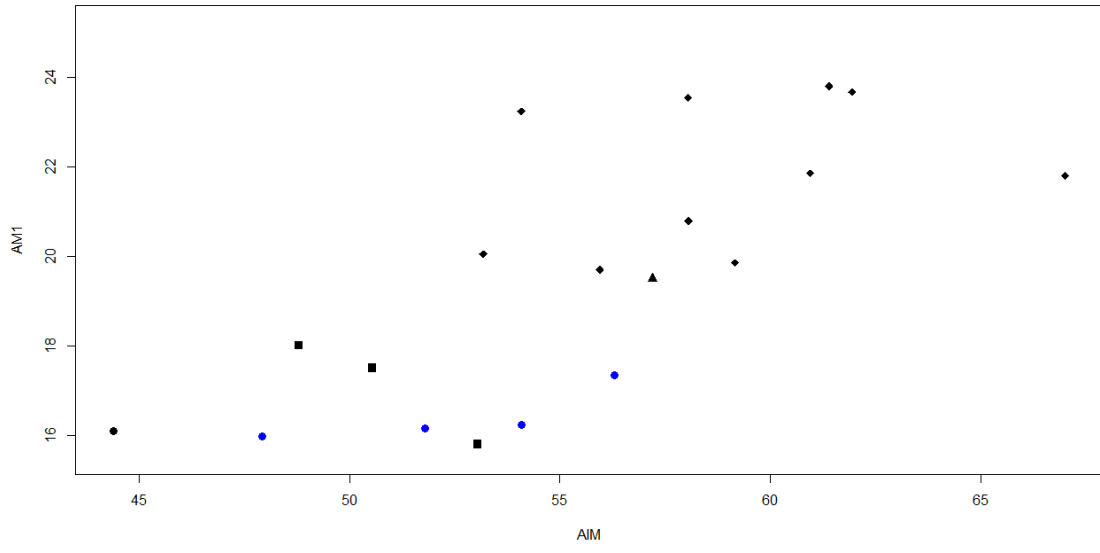
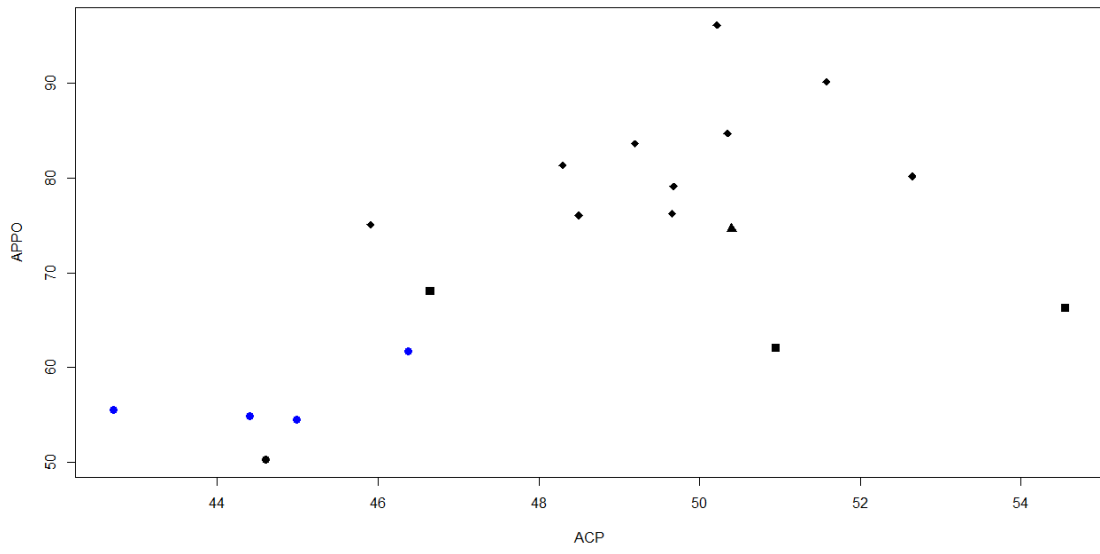


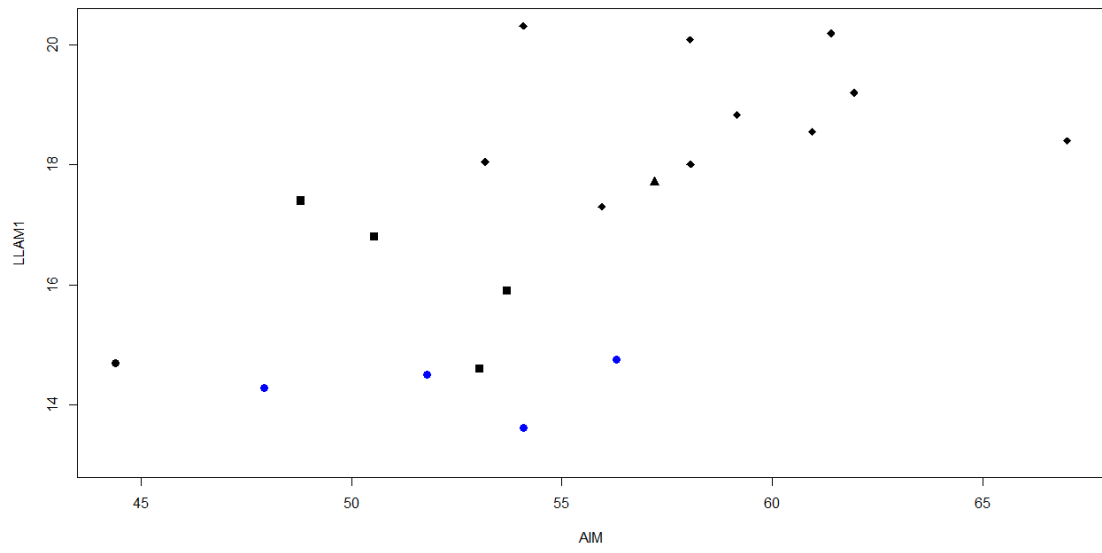
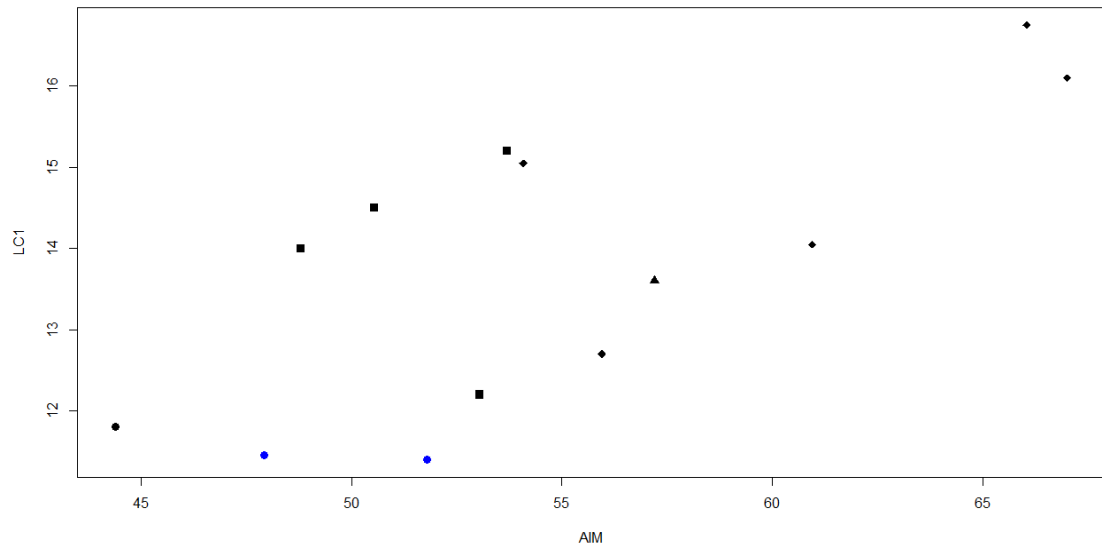


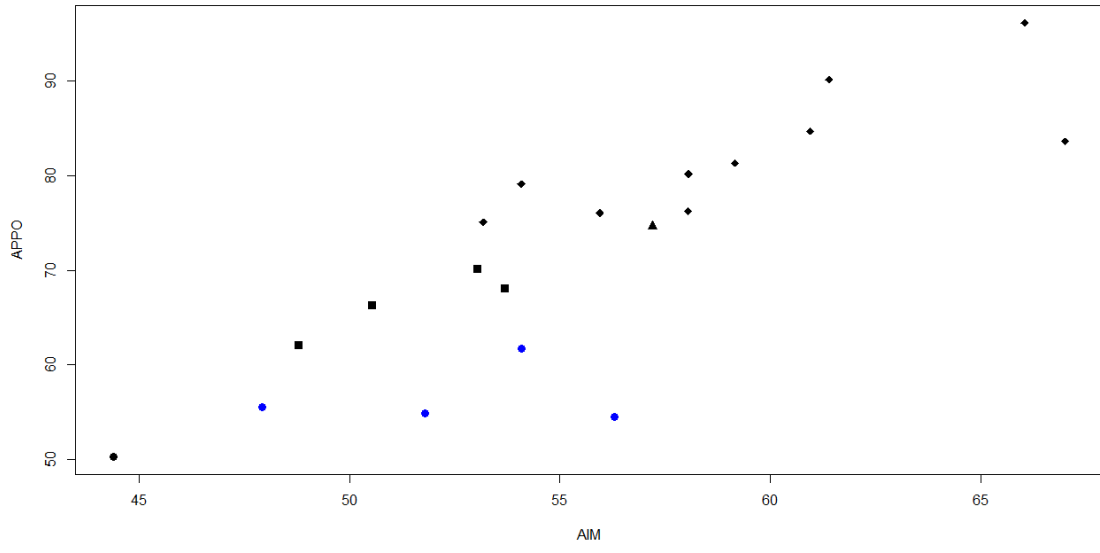
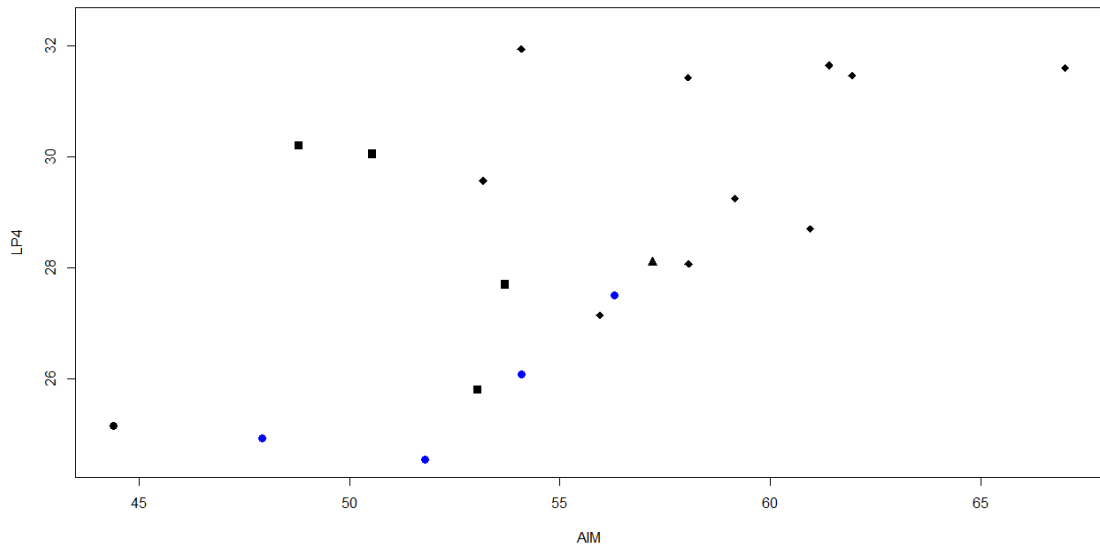


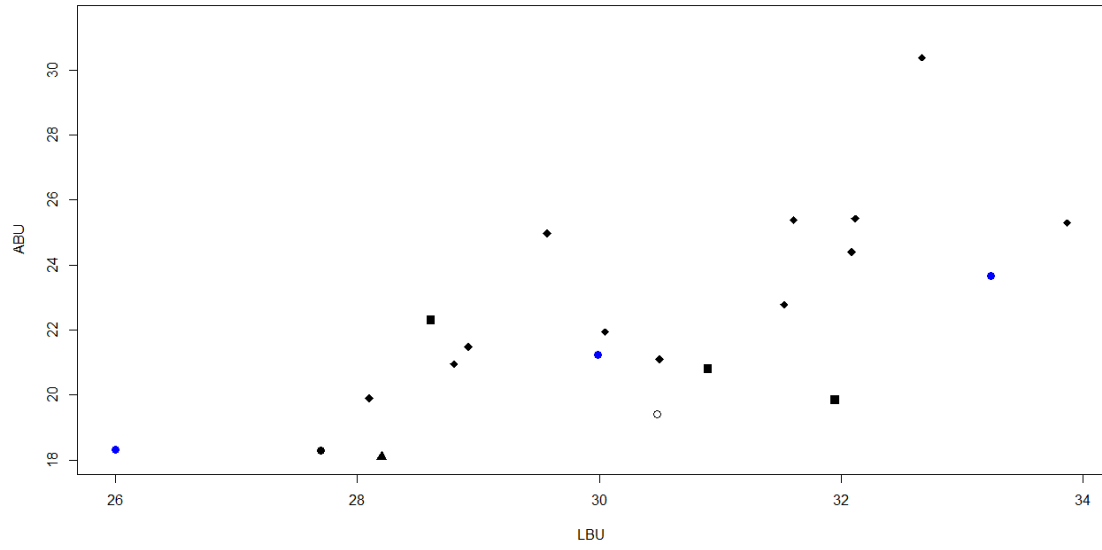
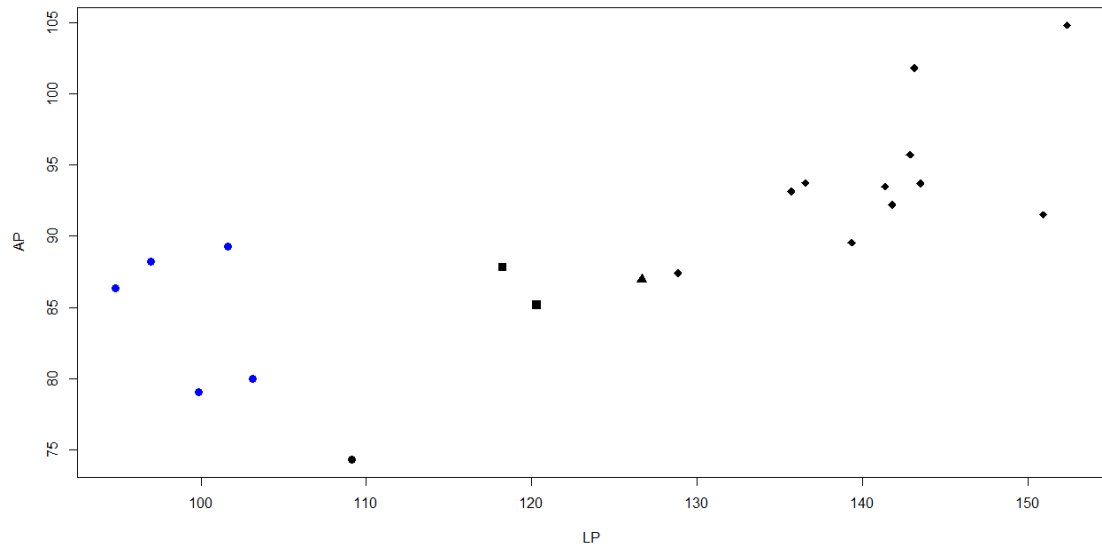


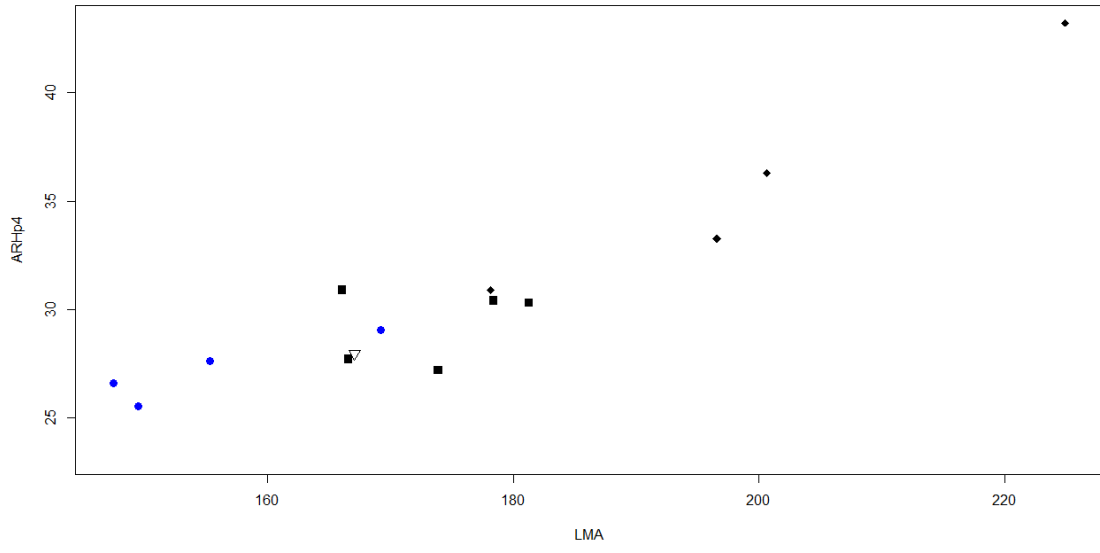
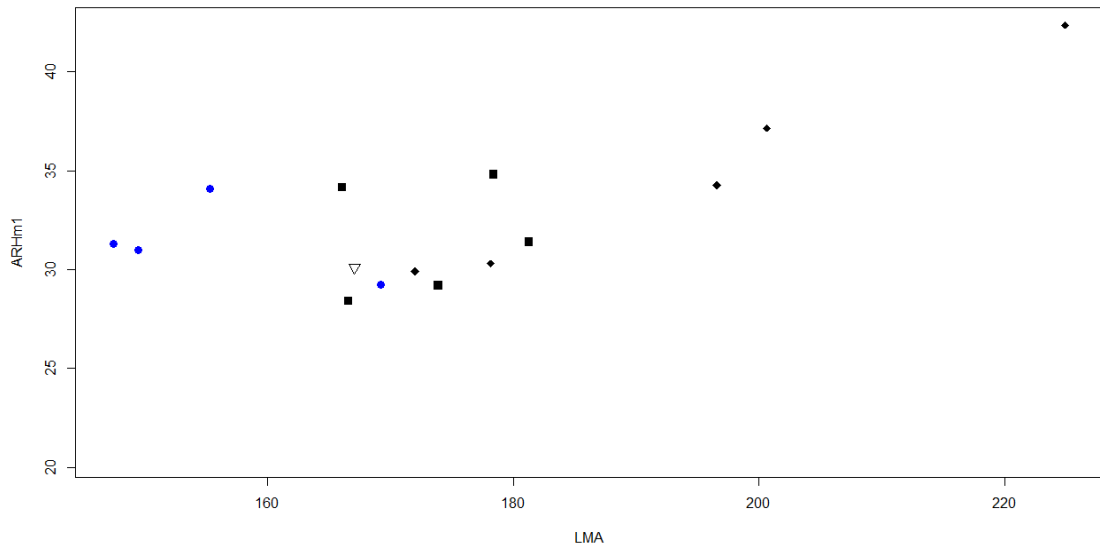


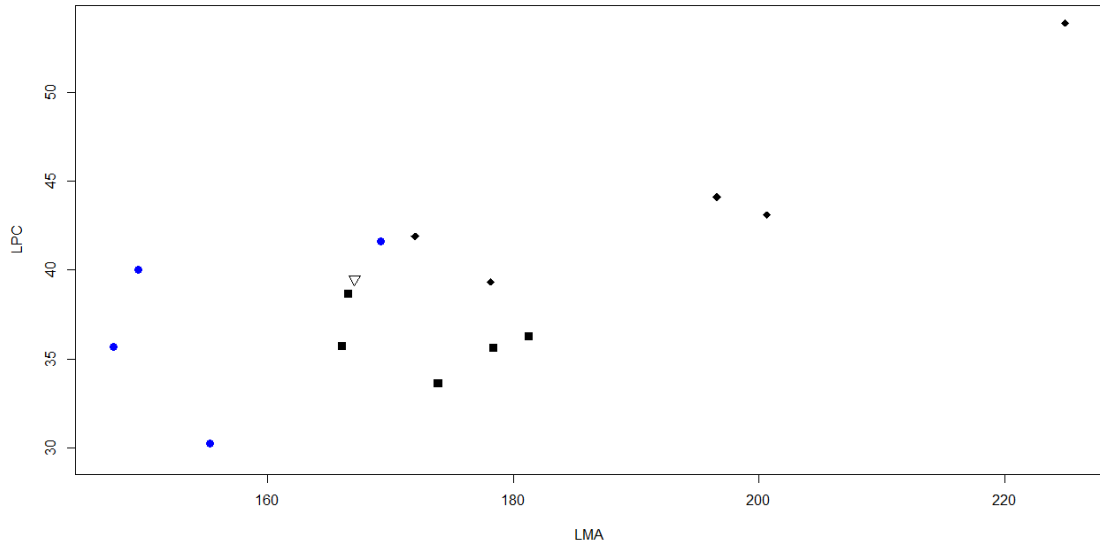
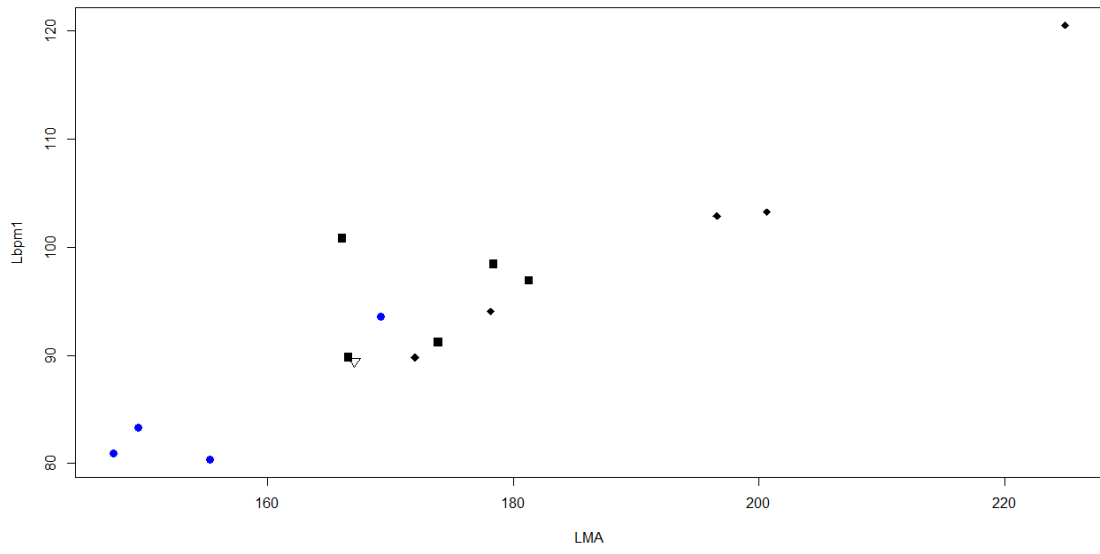


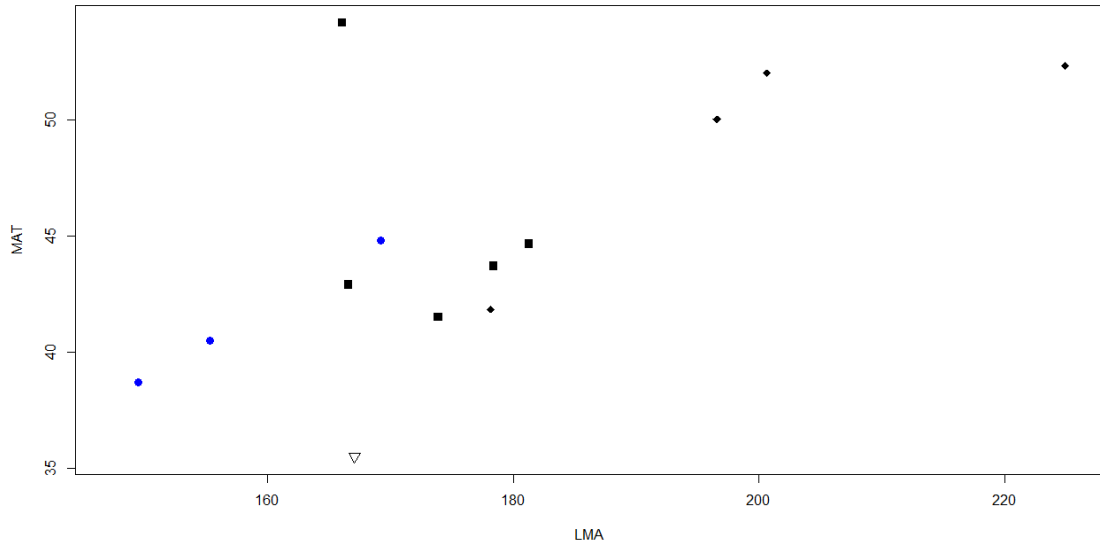
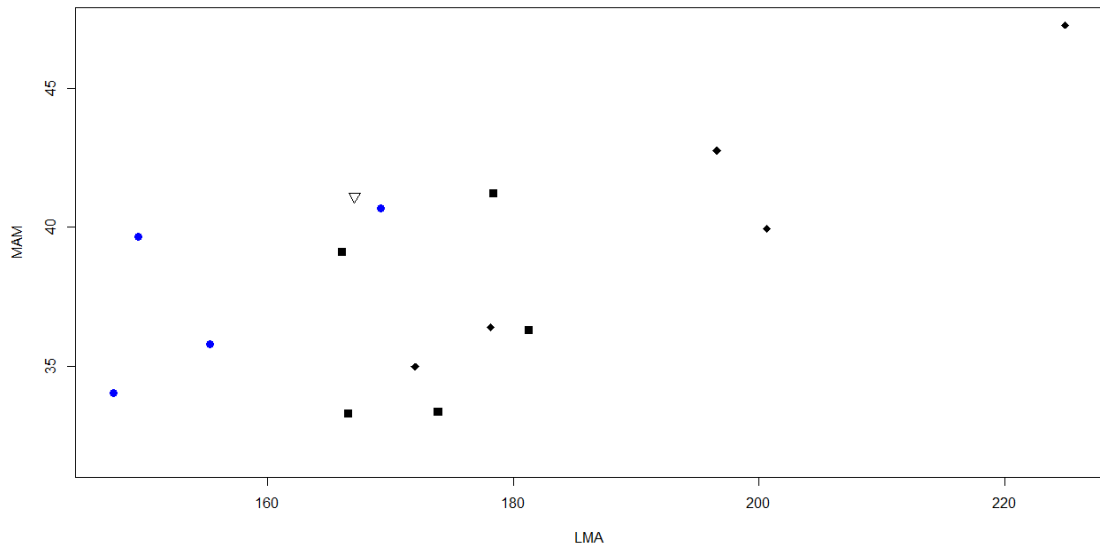


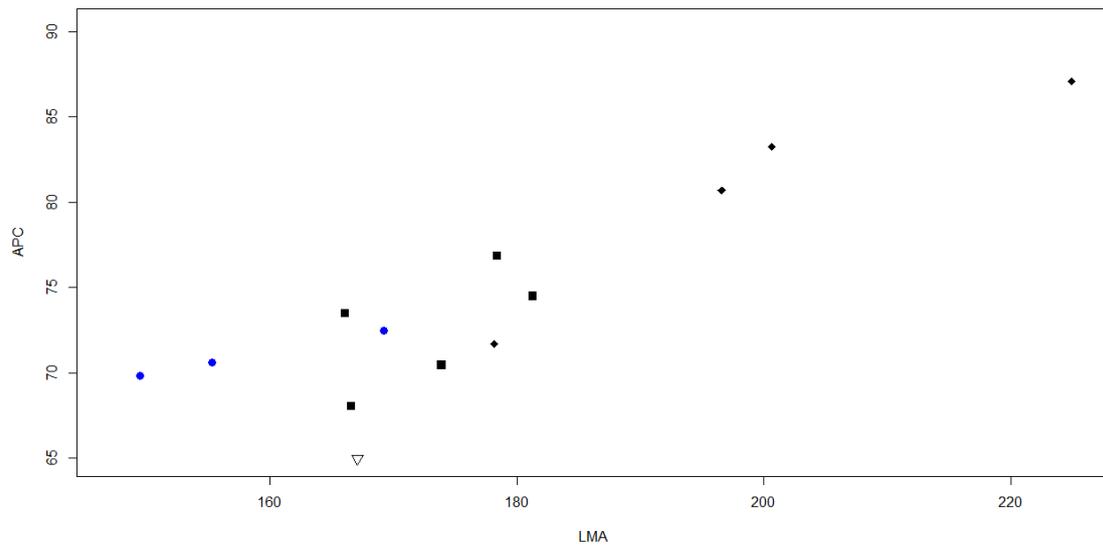


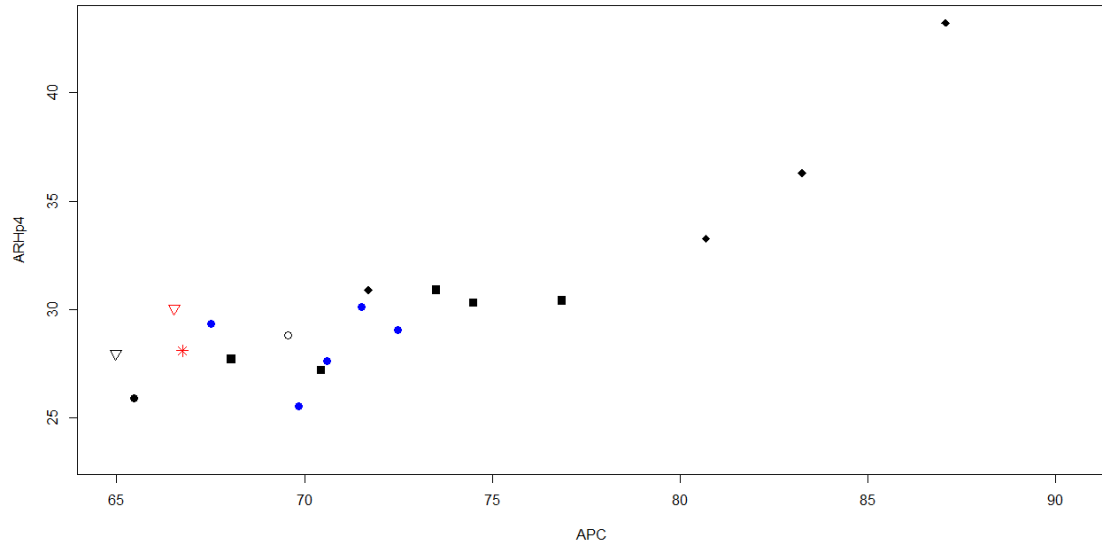
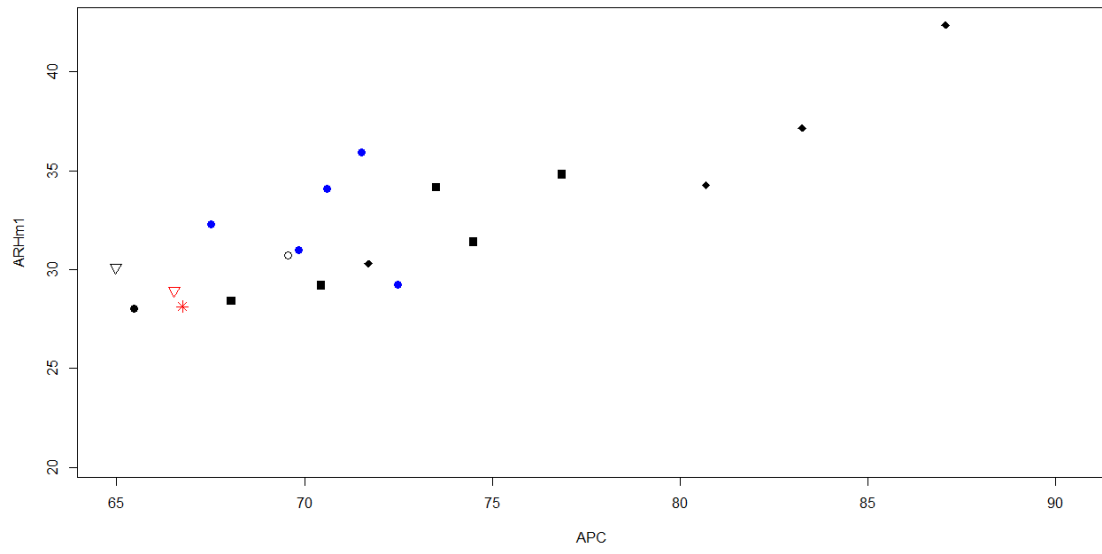


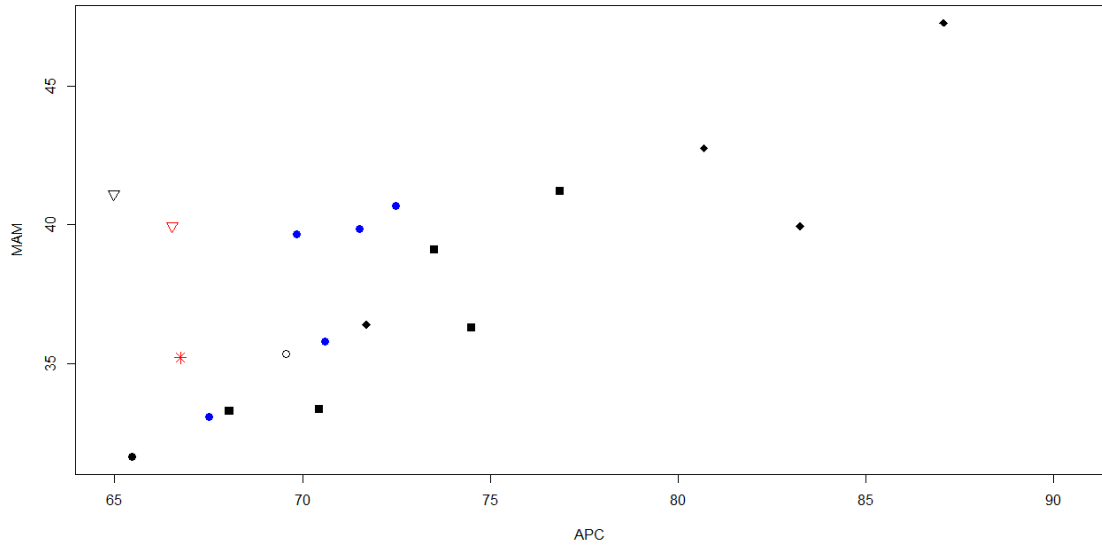
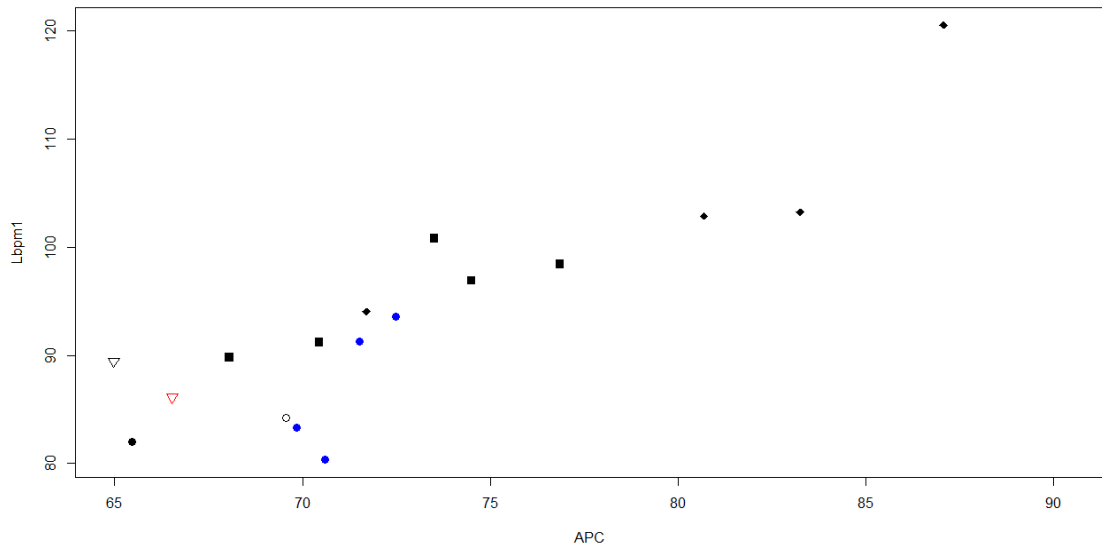


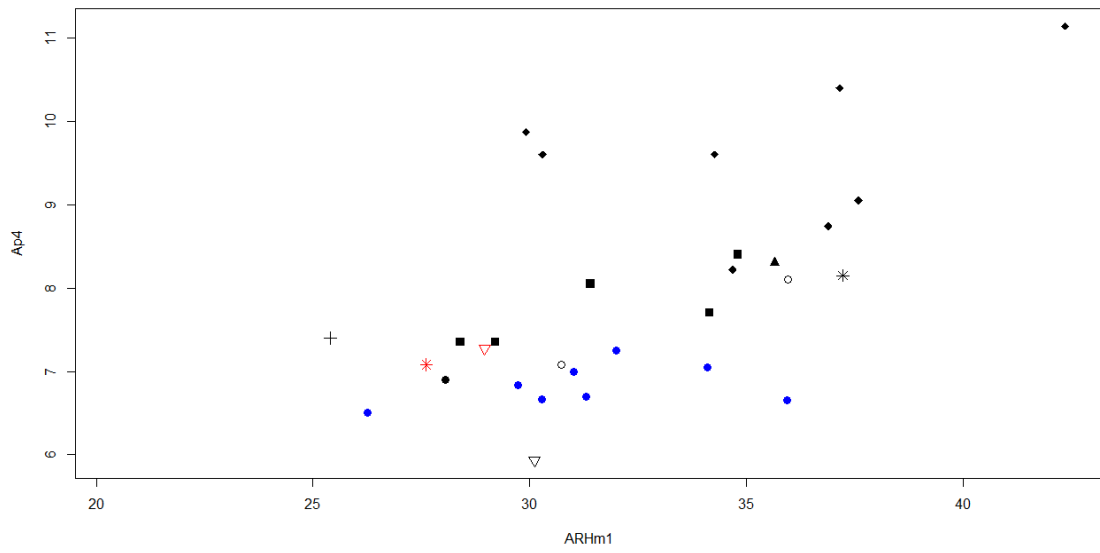
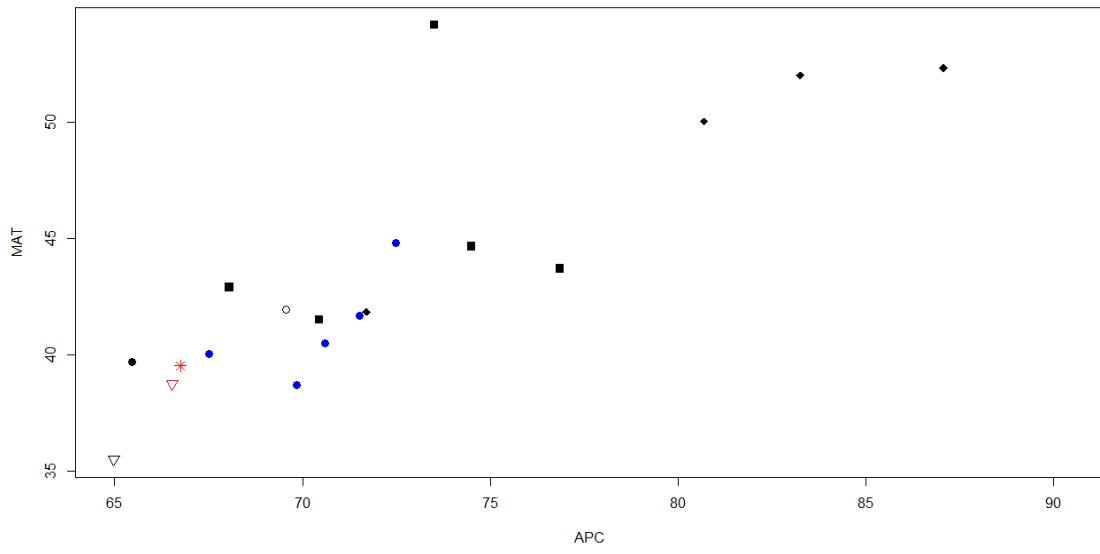


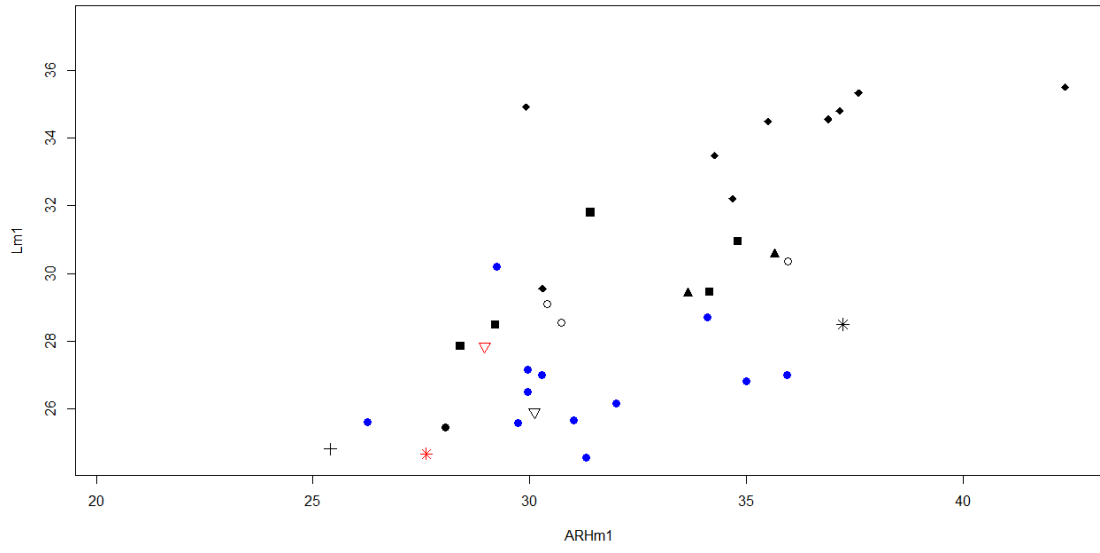
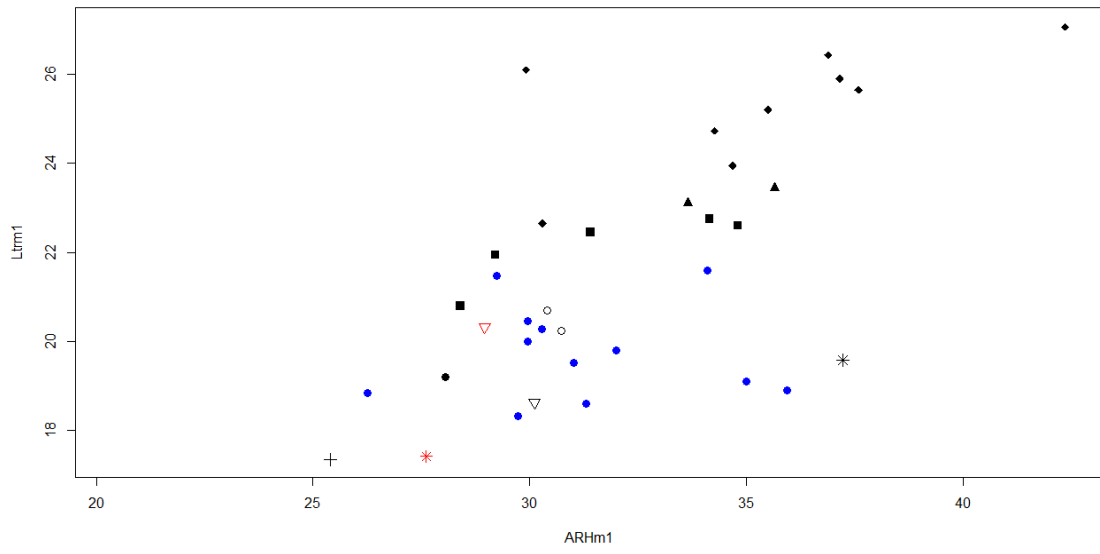


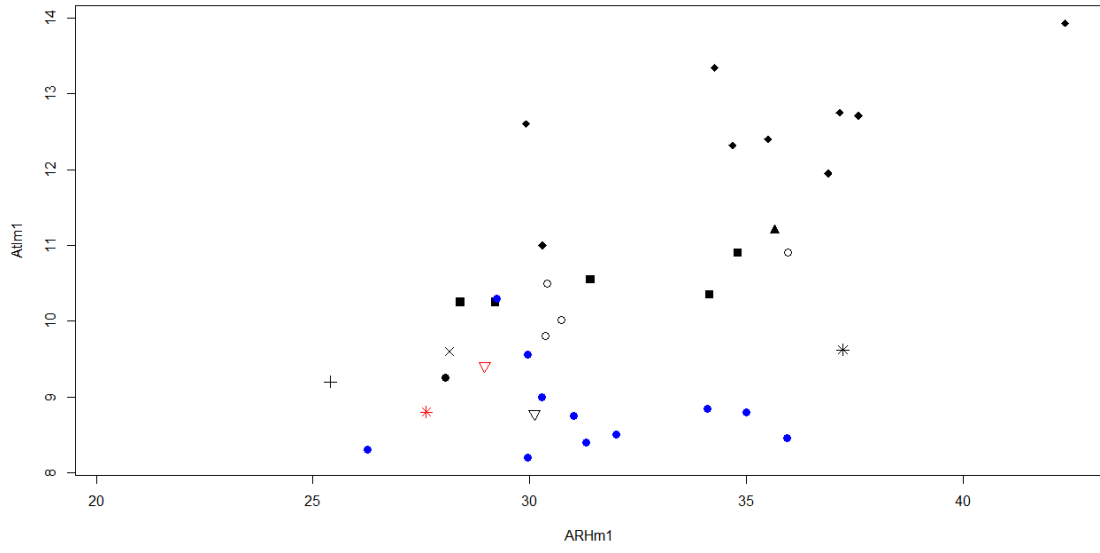
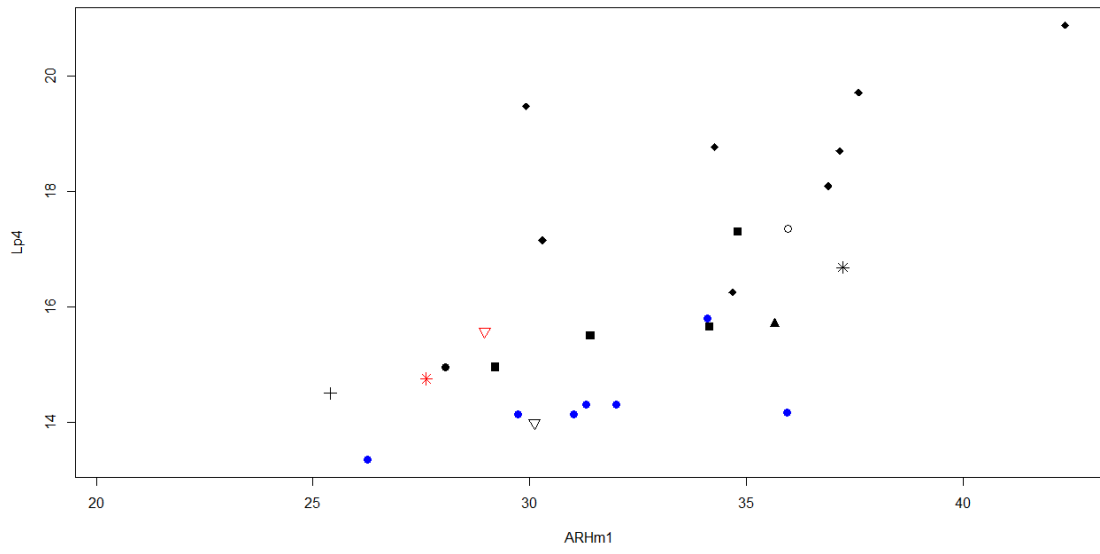


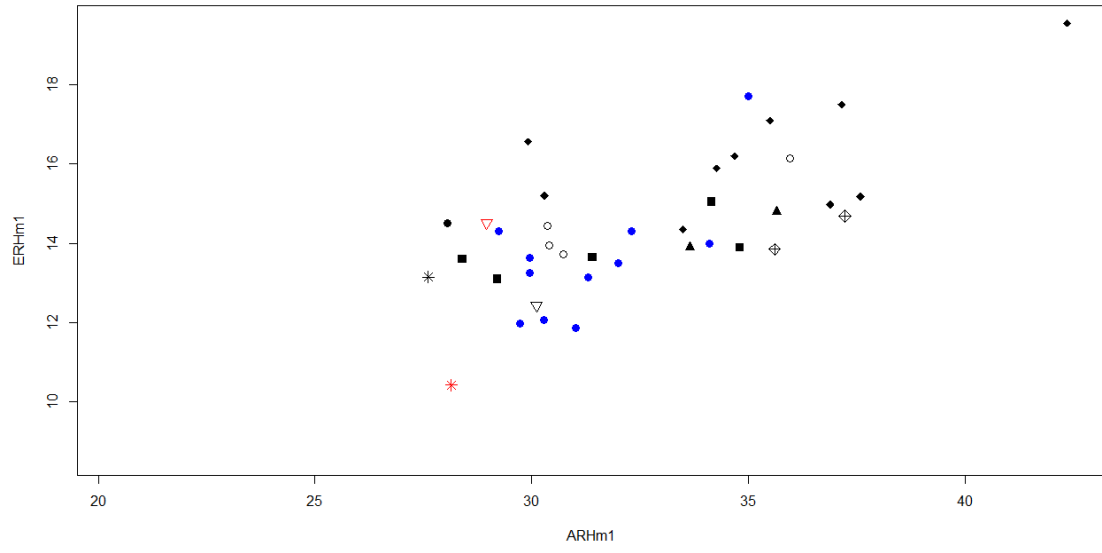
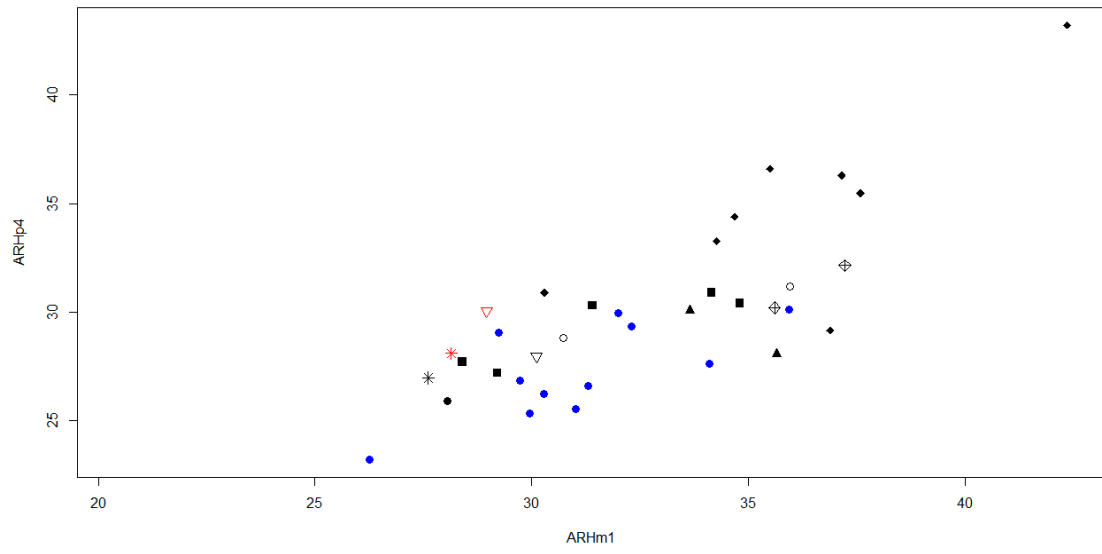


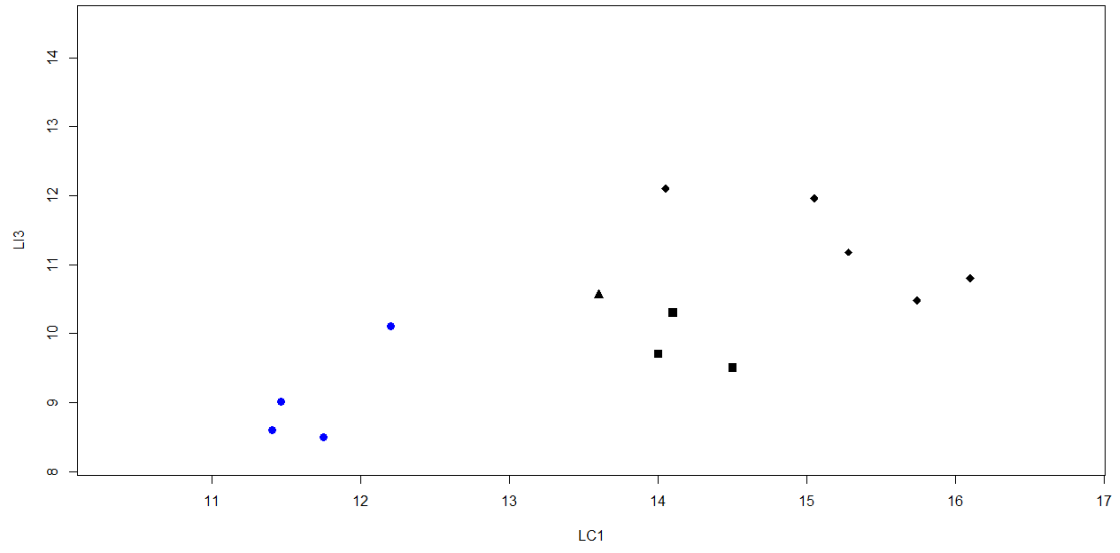
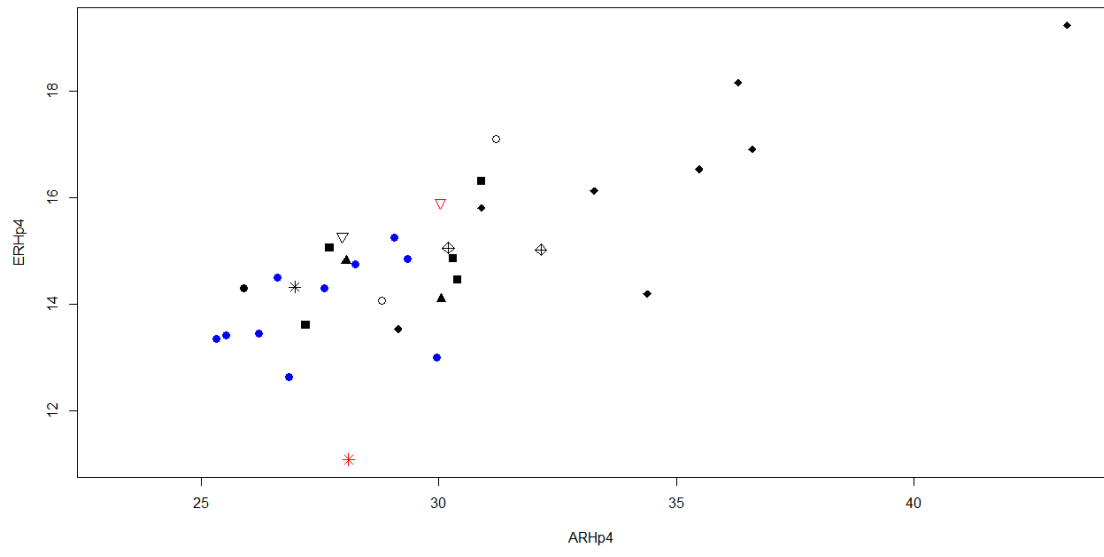


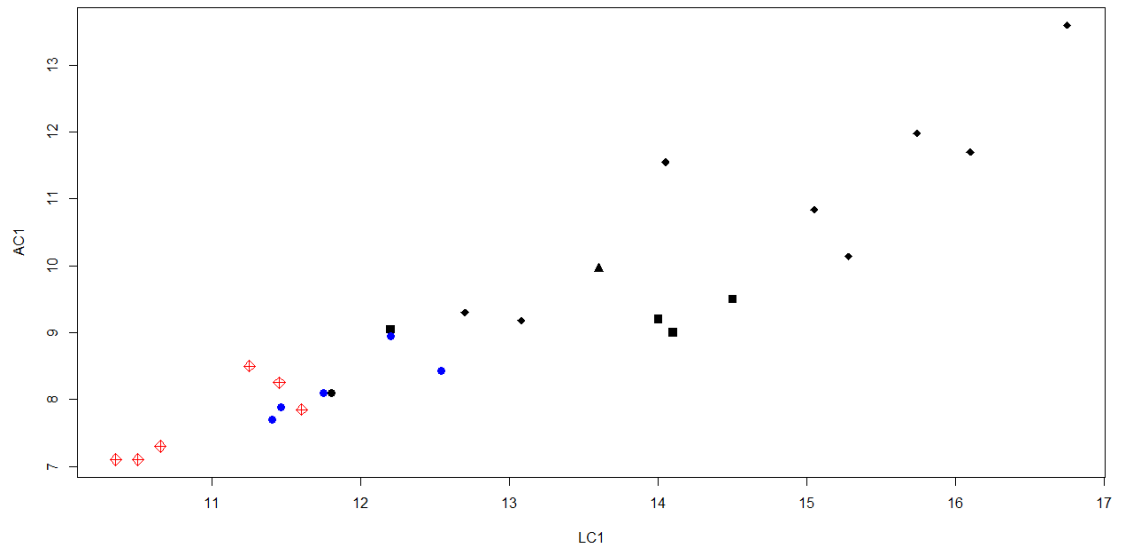




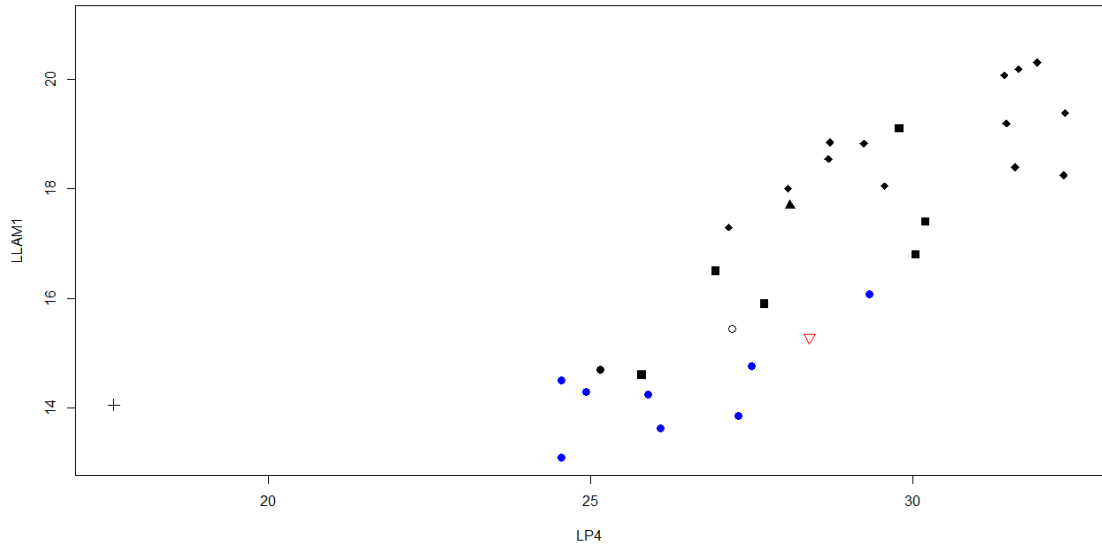
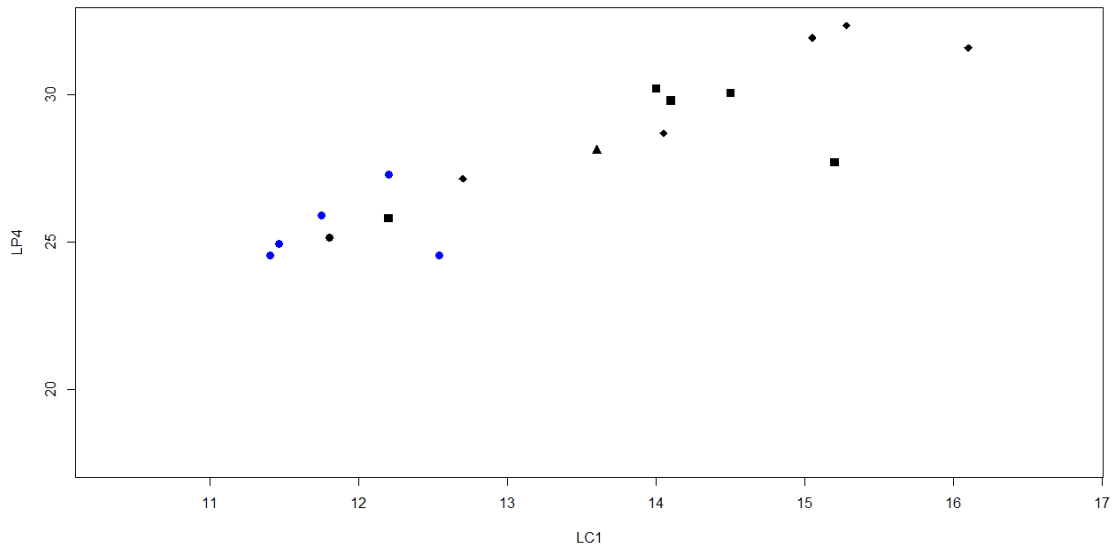


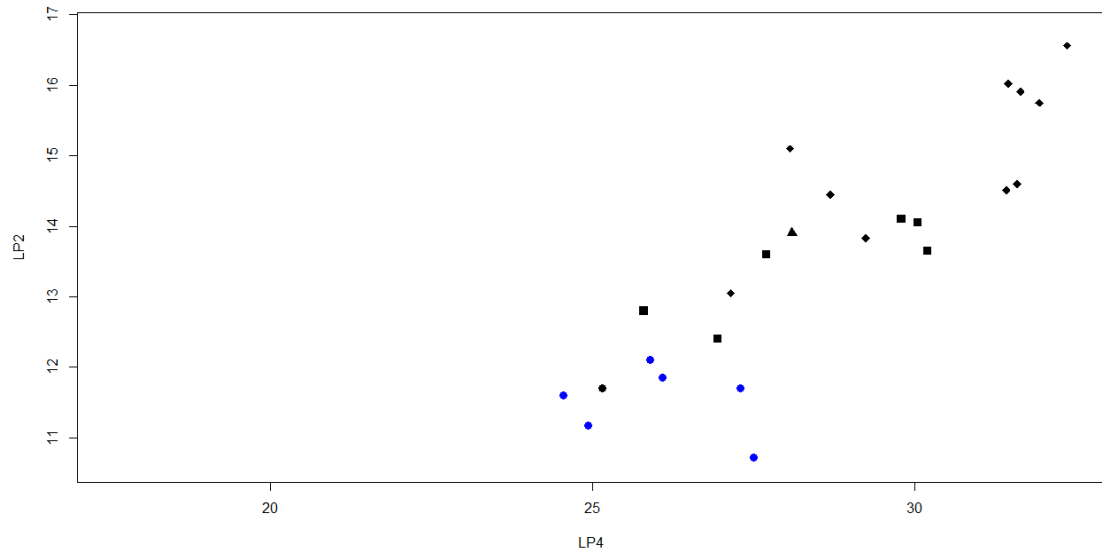
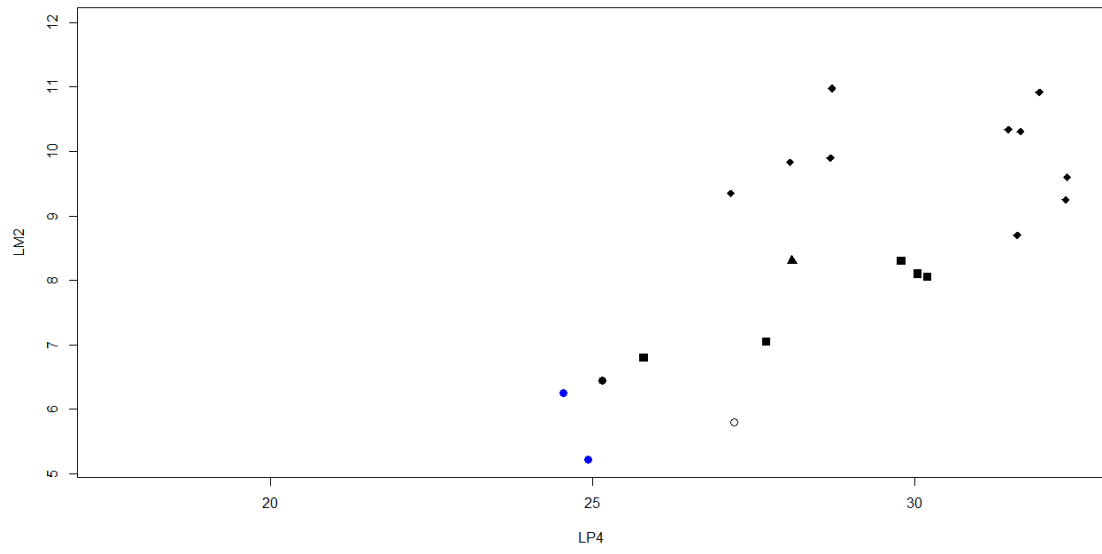


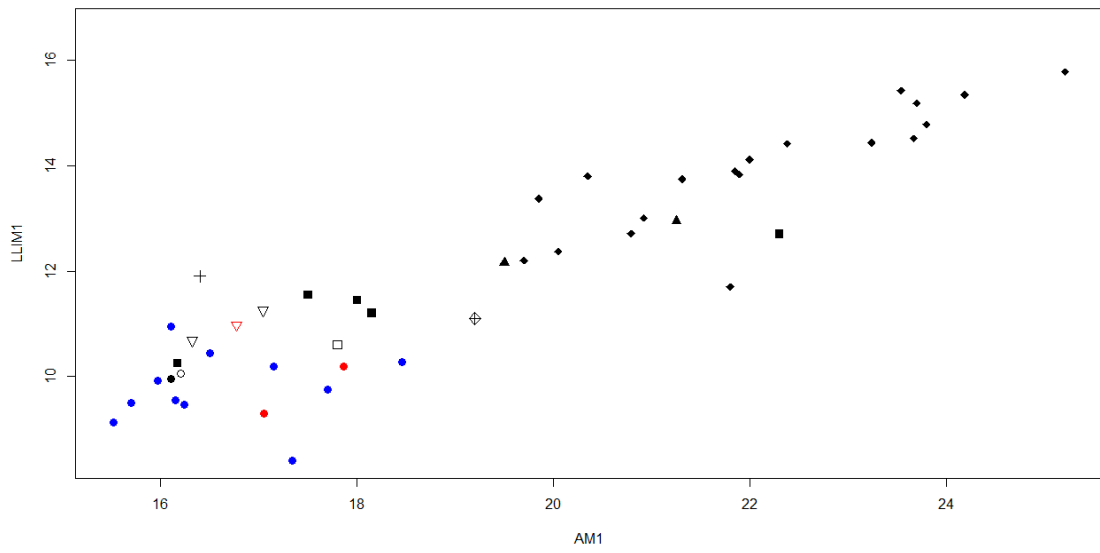
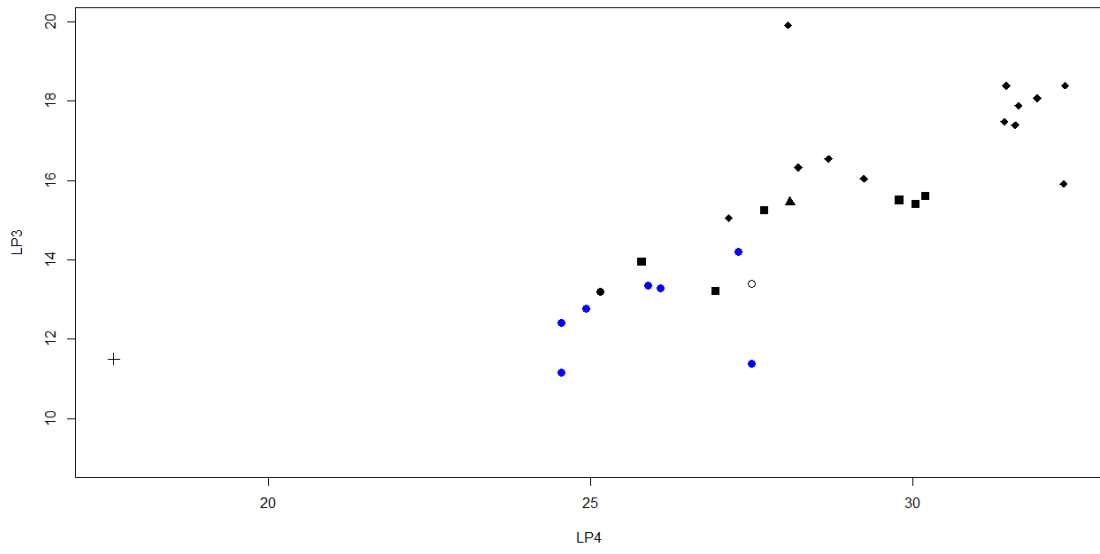


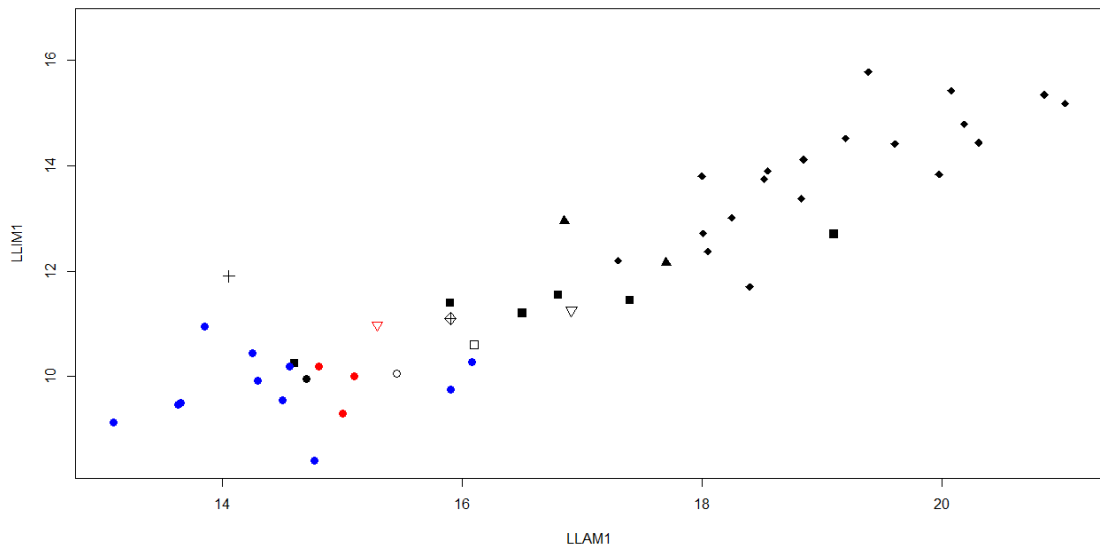
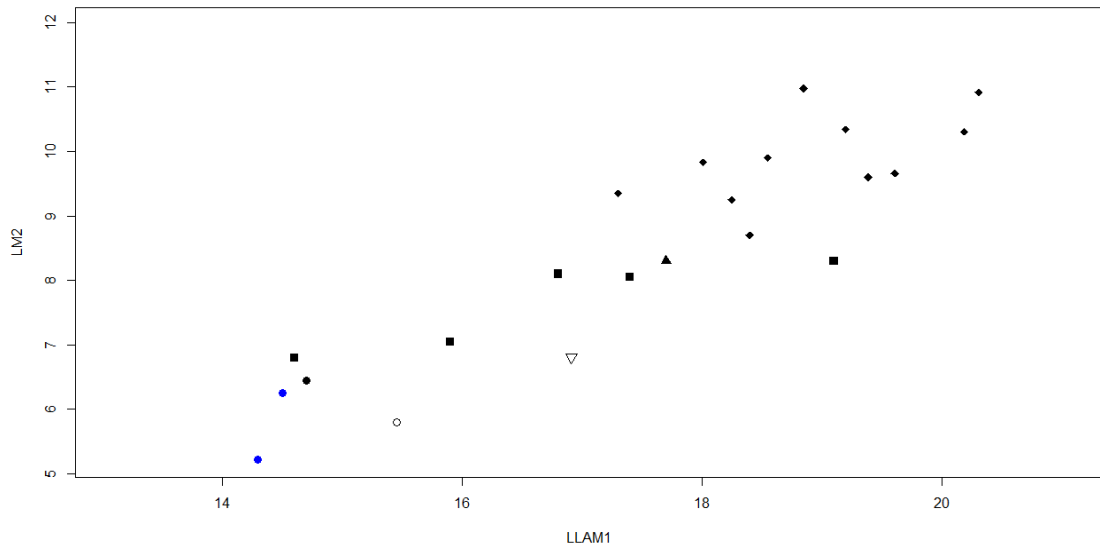


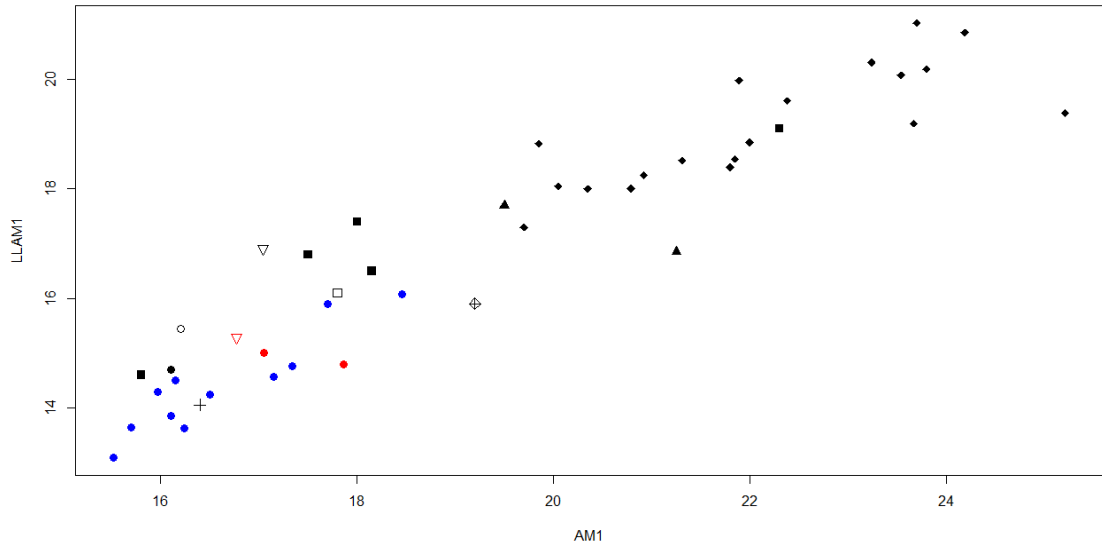
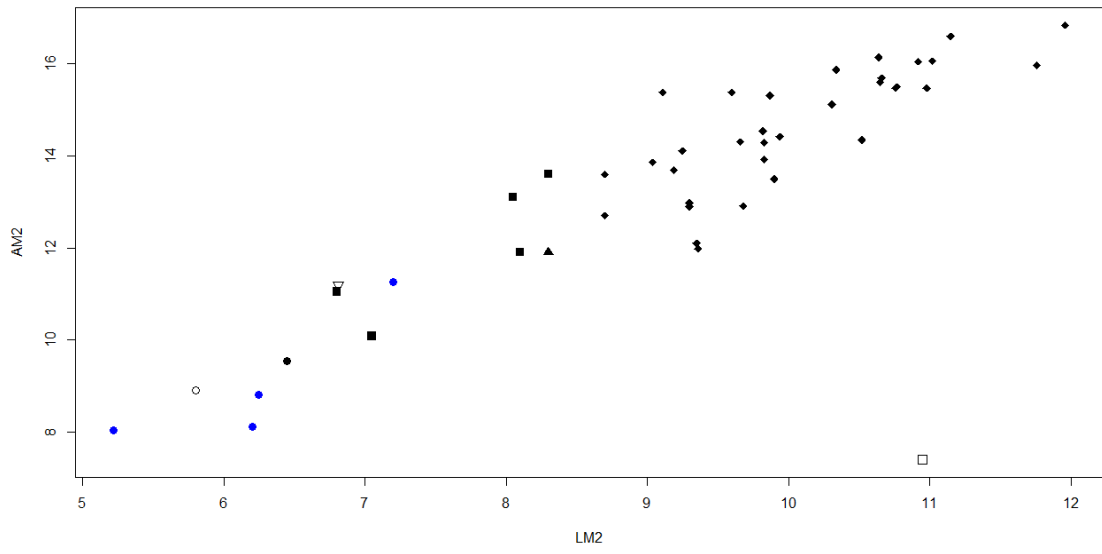


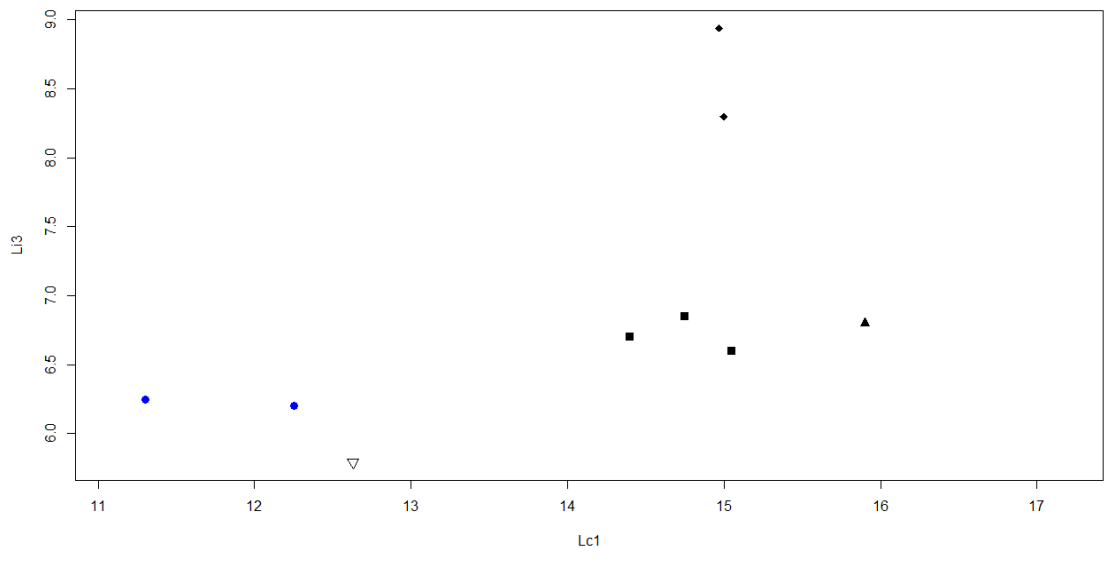
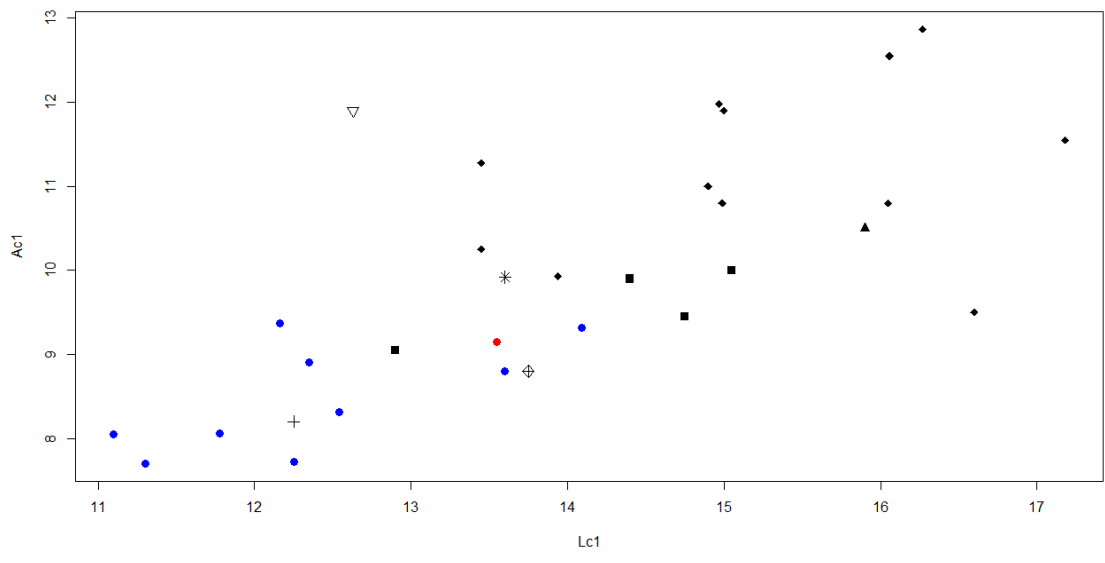


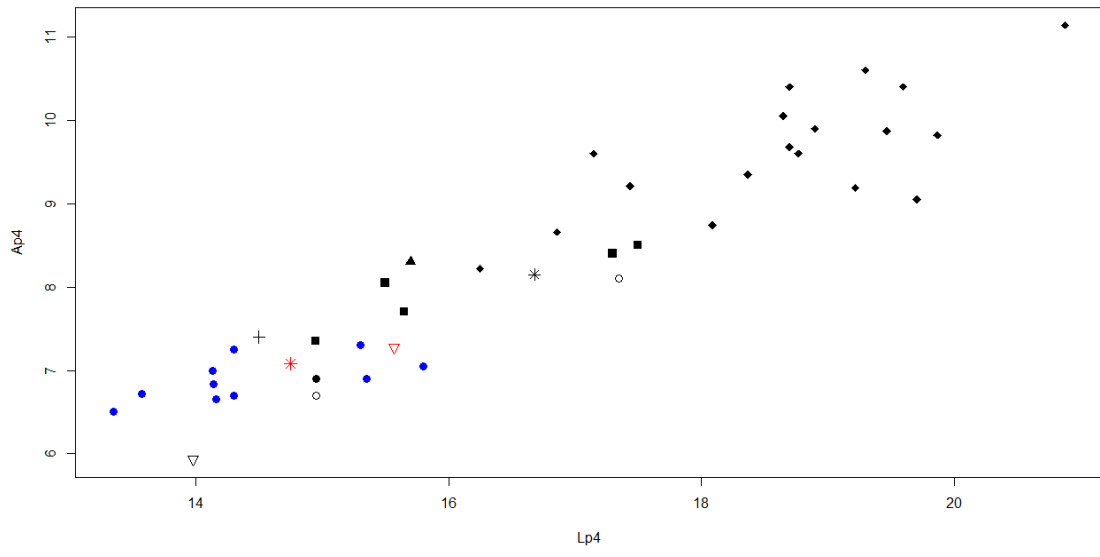


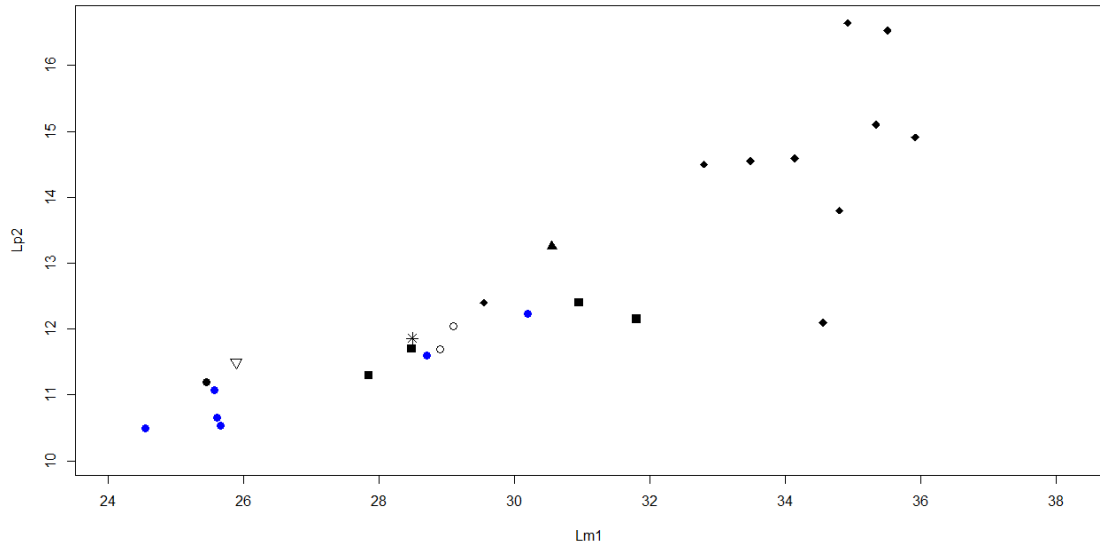
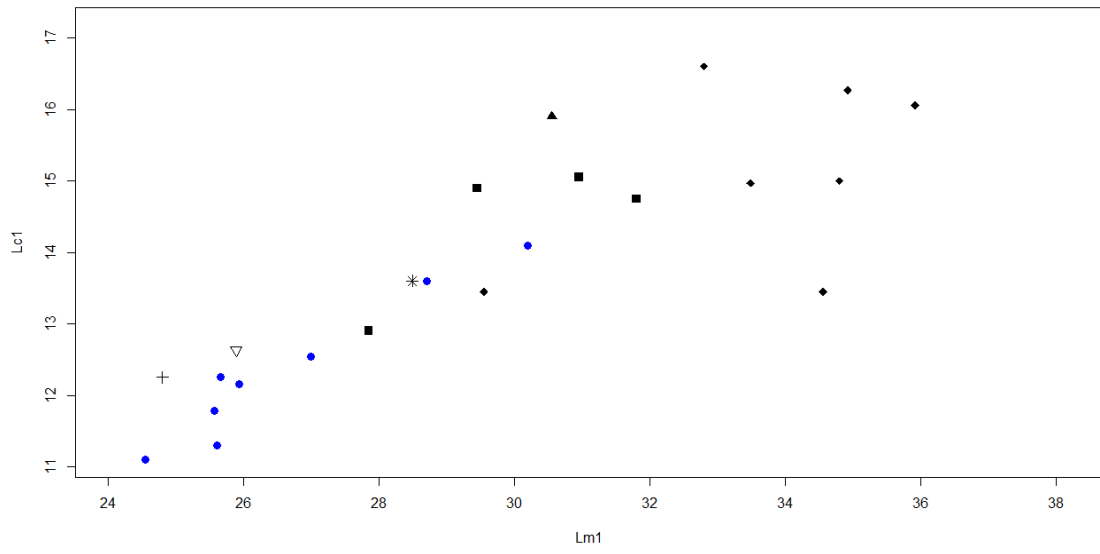


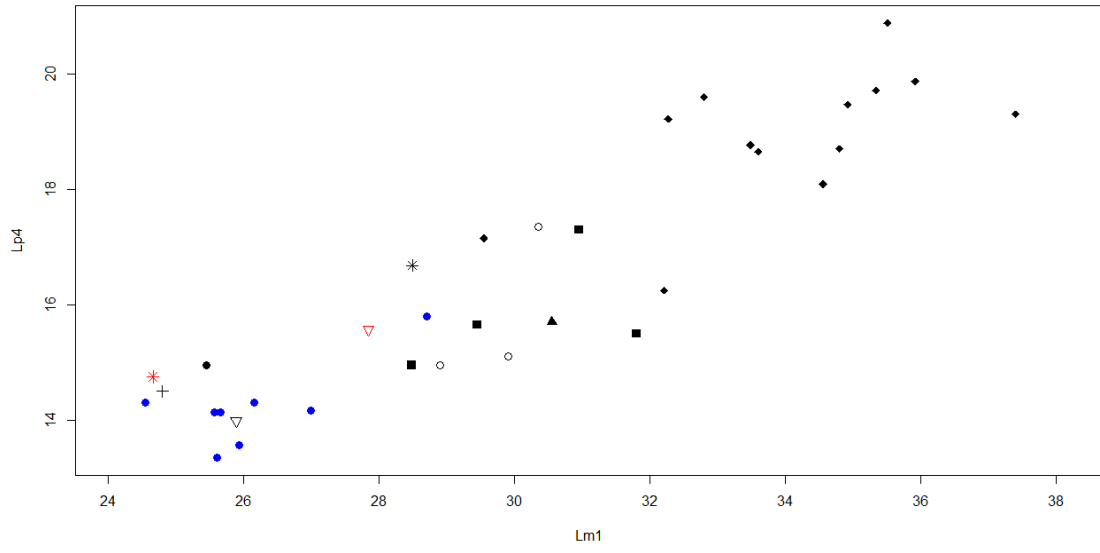
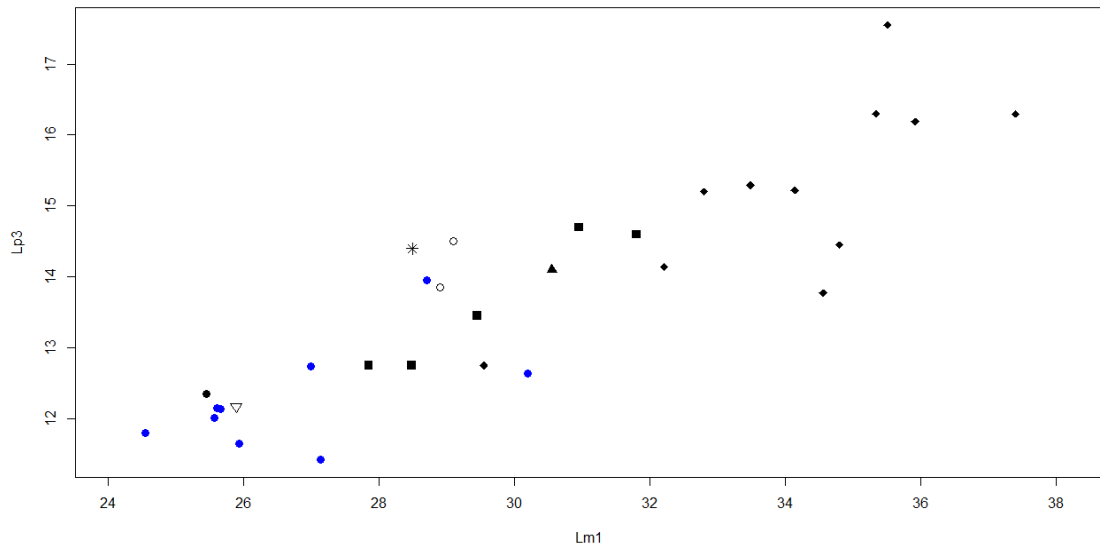


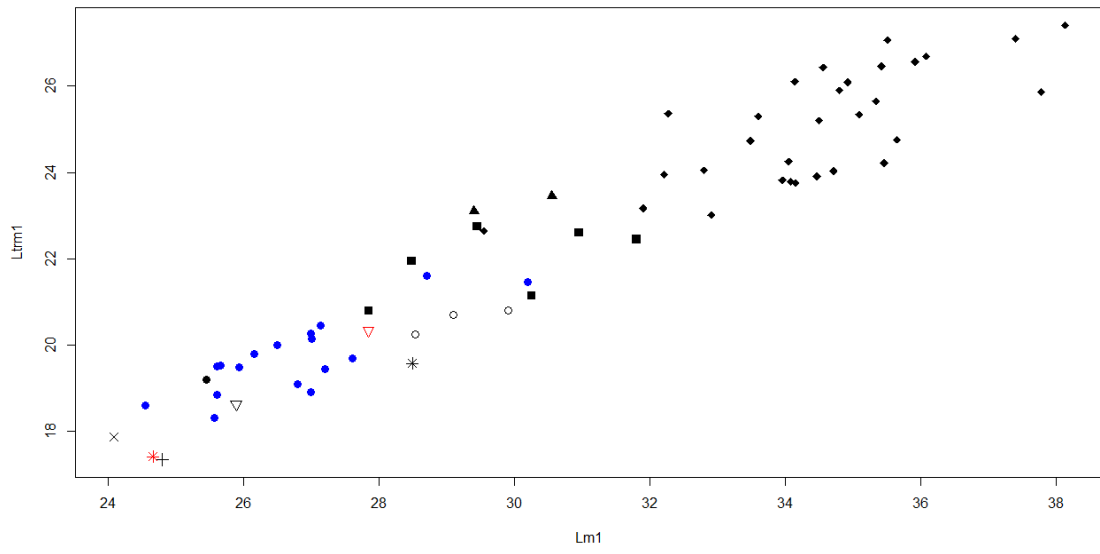


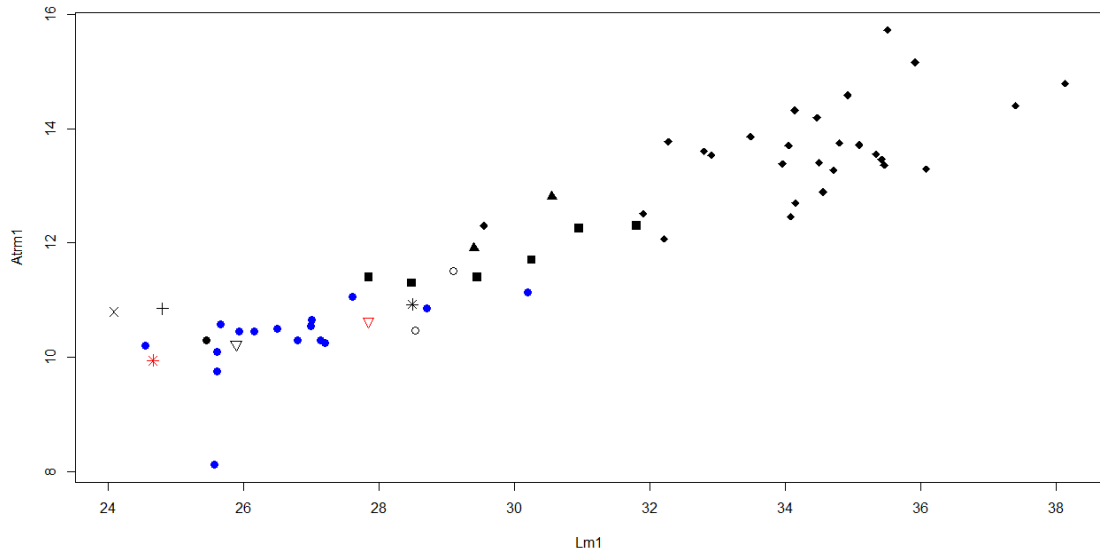
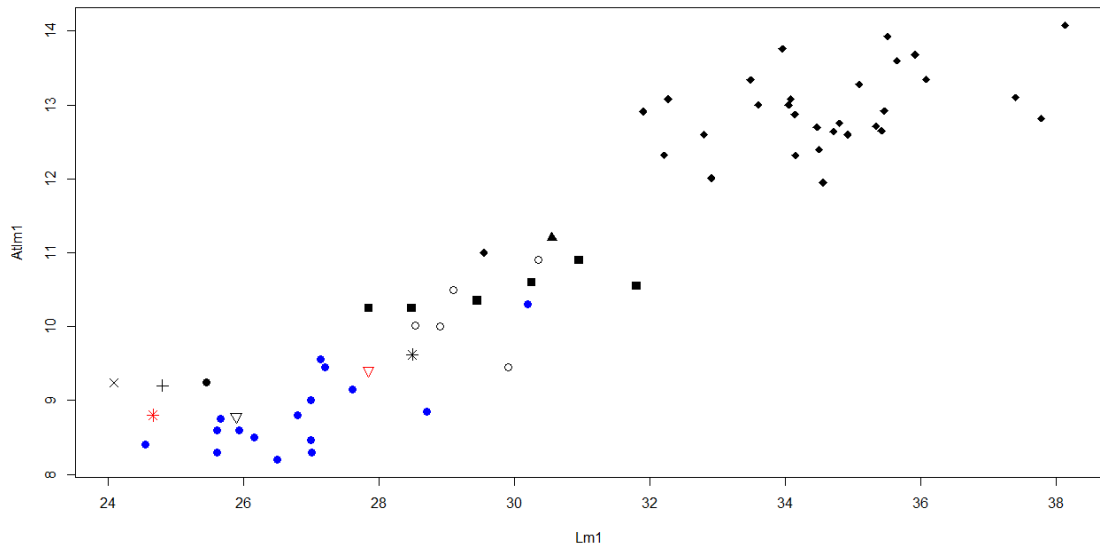


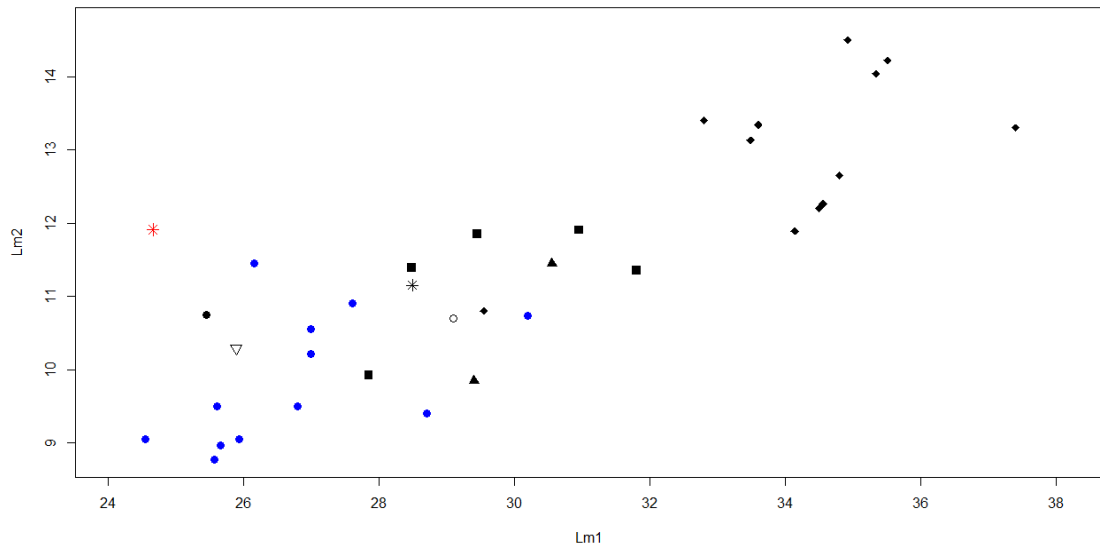






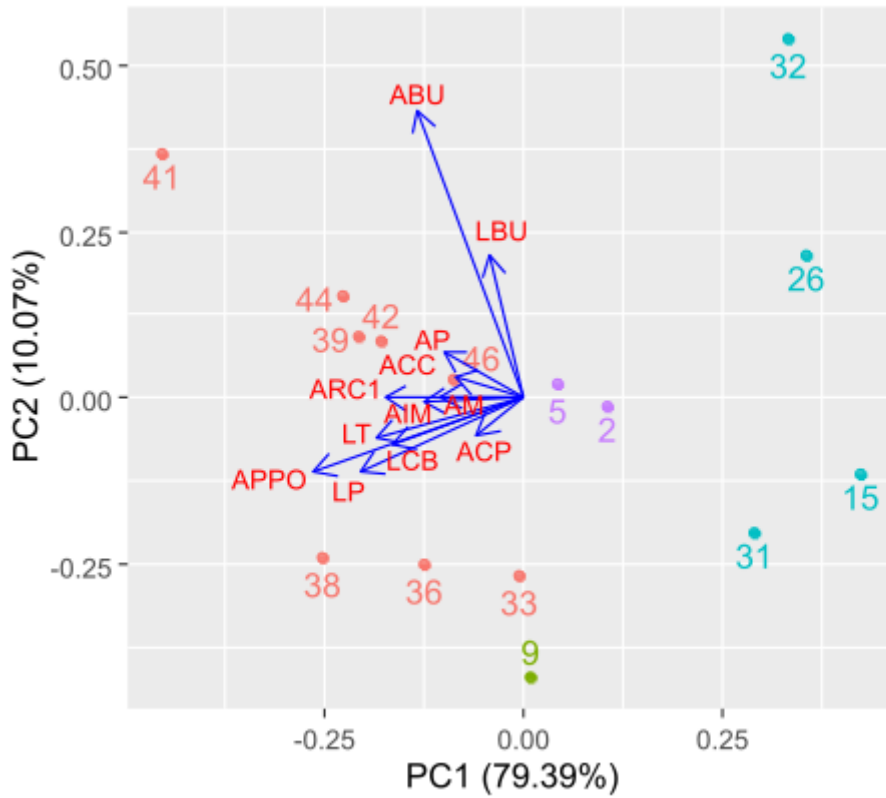




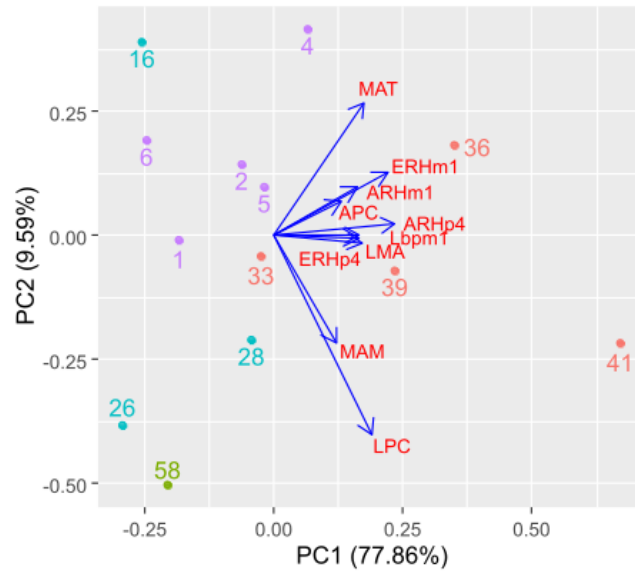


## Análisis de componentes principales

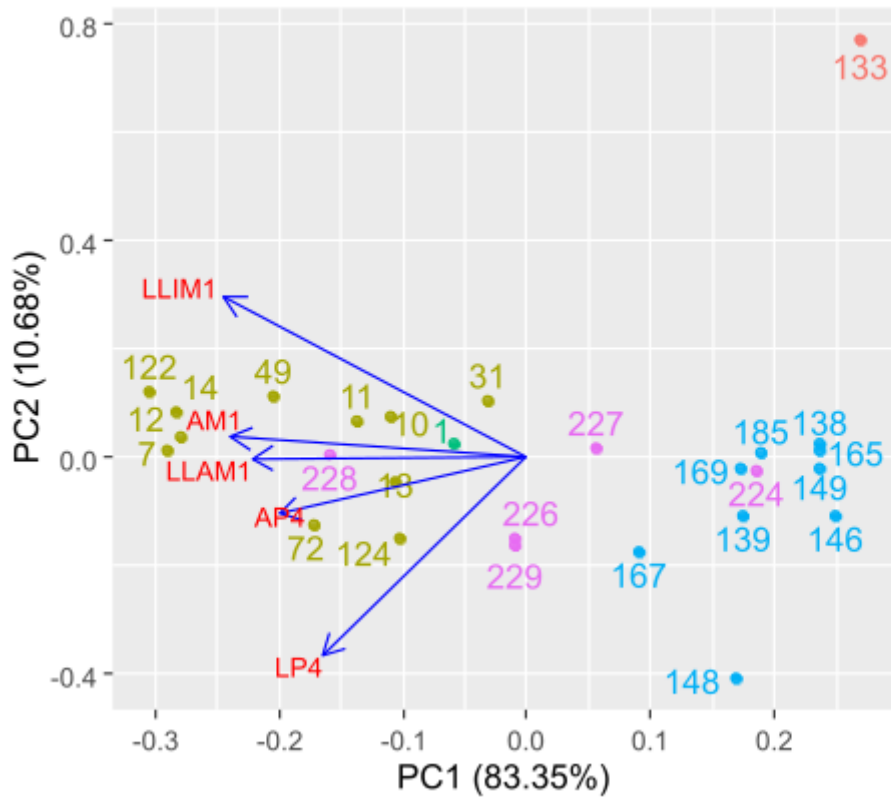
PCA basado en medidas craneanas (LCB, LT, ACC, AIM, ACP, AM, ACC, ARC1, LP, AP, LBU, ABU). **2-5**, *T. platensis*; **9**, “*Ca.*” *gezi*; **15**, *P. scagliarum*; **26-32**, *P. troglodytes*; **33-46**, *A. dirus*. Las flechas azules corresponden a los autovalores.



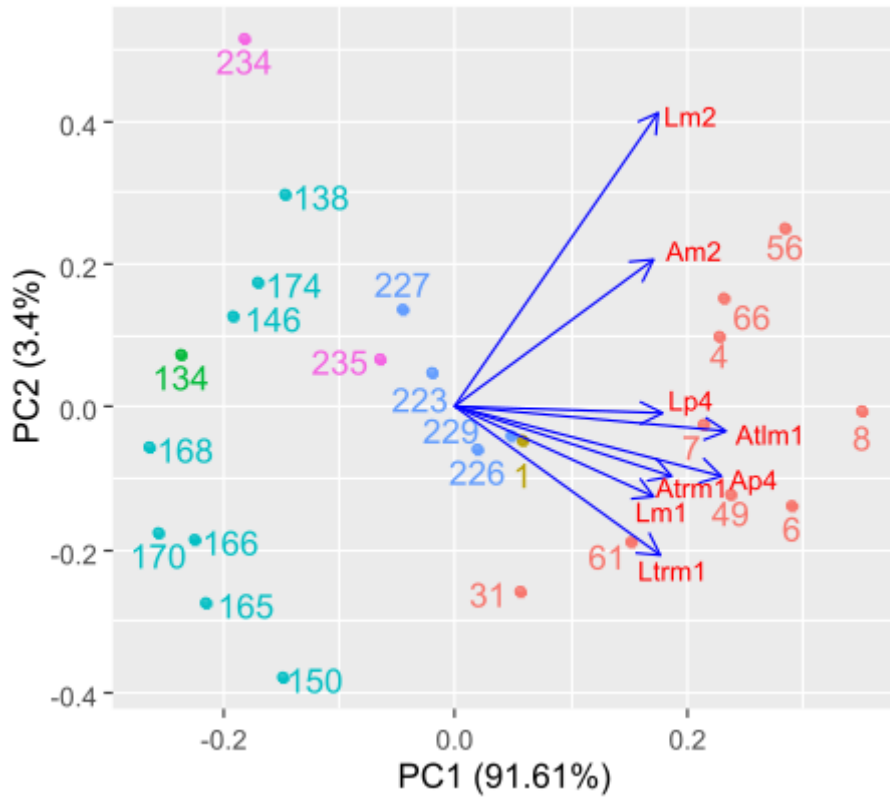
PCA basado en medidas de la mandíbula (LMA, APC, LPC, Lbpm1, MAM, MAT, ARHm1, ERHm1, ARHp4, ERHp4). **1-6**, *T. platensis*; **16-28**, *P. troglodytes*; **33-41**, *A. dirus*; **58**, OR-1332 (Orocual S16). Las flechas azules corresponden a los autovalores.



PCA basado en medidas de la dentición superior (LP4, AP4, LLAM1, LLIM1, AM1). **1**, “Ca.” gezi; **7-124**, *A. dirus*; **133**, *Ch. brachyurus*; **138**, *P. scagliarum*; **139**, *P. tarijensis*; **146-185**, *P. troglodytes*; **224-229**, *T. platensis*. Las flechas azules corresponden a los autovalores.



PCA basado en medidas de la dentición inferior (Lp4, Ap4, Lm1, Ltrm1, Atrm1, Atlm1, Lm2, Am2). **1**, “*Ca.*” *gezi*; **4-66**, *A. dirus*; **134**, OR-1332 (Orocual S16); **138**, *P. scagliarum*; **139**, *P. tarijensis*; **146-174**, *P. troglodytes*; **223-229**, *T. platensis*; **234**, *Xenocyon lycaonoides*; **235**, *X. texanus*. Las flechas azules corresponden a los autovalores.



PCA basado en medidas del m1 (Lm1, Ltrm1, Atrm1, Atlm1). **1**, “*Ca.*” *gezi*; **4-119**, *A. dirus*; **132**, *Ch. brachyurus*; **134**, OR-1332 (Orocual S16); **137**, OR20-260 (Orocual S20); **138**, *P. scagliarum*; **141-145**, *P. tarijensis*; **146-186**, *P. troglodytes*; **223-229**, *T. platensis*; **232**, *Theriodictis? floridanus*; **234**, *Xenocyon lycaonoides*; **235**, *X. texanus*.

Las flechas azules corresponden a los autovalores.

